

# 抄 錄

第26卷 第1號 昭和15年1月

<u>應用力學</u>	頁
(1) 最大垂矢が與へられた場合にケーブルの水平引張力を簡単に求める方法.....	75
<u>水 理</u>	
(2) 水門流出水の理論的並に實驗的研究.....	76
(3) 地下水流量の新公式.....	77
<u>材 料</u>	
(4) 新光學的應力測定器.....	79
(5) 特殊ボルトランドセメント.....	79
(6) 木材の不均等收縮.....	81
(7) 木材斷面周縁部分の強度に及ぼす影響に就て.....	83
<u>コンクリート及鐵筋コンクリート</u>	
(8) 破碎白雲石を用ひた振動コンクリート.....	84
(9) 鐵筋コンクリート梁に於ける斜肋筋の熔接.....	86
(10) 鐵筋コンクリート鉄及搖承に關する一實驗.....	89
<u>發電水力</u>	
(11) 風力發電に就て.....	90
<u>堰 堤</u>	
(12) 基礎破壊による Fort Peck Dam の大滑動.....	91
(13) Mississippi 下流に於ける最初の洪水調節堰堤.....	93
<u>港 澪</u>	
(14) 閘室建設に就ての問題.....	95
<u>鐵 道</u>	
(15) 歐洲最長の電化鐵道完成す.....	97
(16) San Francisco—Oakland 橋梁の信號及聯動裝置.....	99
<u>橋梁及構造物</u>	
(17) 劇期的な木製拱架.....	102
(18) ドイツに於ける熔接鋼橋の事故に就て.....	103
<u>道 路</u>	
(19) 米國に於ける有料制高速度道路.....	106
(20) 道路工事用機械に於ける革新.....	108

## 應用力學

### (1) 最大垂矢が與へられた場合にケーブルの水平引張力を簡単に求める方法

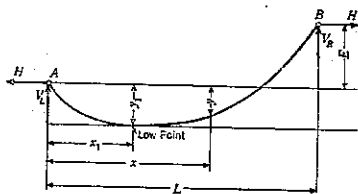
Frederick Shapiro ; "Horizontal Tension in Wires with Fixed Maximum Sag". Civil Eng., Vol. 9, No. 7, July 1939, p. 428~429.  
一木保夫抄

ケーブルの如き可撓性の物體を取扱ふ場合に、荷重が

非對稱で、最大垂矢が與へられ、兩支點の水平及垂直距離が與へられた時のケーブルに起る應力を求めることが屢々必要になる。この場合まづ非常に重要な點であるところの、最も低い點即ち最大垂矢の點を數學的に見出して、之からケーブルの水平引張力及支點に於ける垂直反力を計算する方法を次に述べる。

圖-1 に於て  $\frac{dy}{dx}$  は  $x_1$  の點で 0 となる。即ちその點で符号を變へる譯である。今  $m$  を  $x$  より左の荷重

圖-1. 記 號



の  $x$  点に關するモーメントとすると  $Hy = V_L x - m$

$$\text{従つて } \frac{dy}{dx} = \frac{V_L - dm/dx}{H}$$

然るに  $dm/dx = v$ , 但し  $v$  は  $x$  より左側にある荷重の総和である。故に  $x_1$  の點で  $V_L - v$  は符号を變へることになる。又  $m_1$  を  $x_1$  より左にある荷重の  $x_1$  に關するモーメントとすれば

$$V_L x_1 - Hy_1 - m_1 = 0 \quad \dots \dots \dots (1)$$

$B$  点のまはりのモーメントをとると

$$V_L L + HE - M = 0 \quad \dots \dots \dots (2)$$

但し  $M$  は總ての荷重の  $B$  に關するモーメントである。

(1) 及 (2) の式より

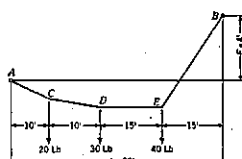
$$V_L = \frac{M_1 E + M Y_1}{x_1 E + y_1 L} = \frac{m_1 + M y_1 / E}{x_1 + L y_1 / E} \quad \dots \dots \dots (3)$$

故に  $\frac{m_1 + M y_1 / E}{x_1 + L y_1 / E} - v$  は  $x_1$  点で符号を變へることになる。 $x_1$  点の位置が分ると  $V_L$  は (3) 式より求まり、 $H$  は次式で與へられる。

$$H = \frac{M \frac{x_1}{L} - m_1}{E \frac{x_1}{L} + y_1} \quad \dots \dots \dots (4)$$

$\frac{m_1 + M y_1 / E}{x_1 + L y_1 / E} - v$  に於て  $M$ ,  $L$ ,  $y$ , 及  $E$  は既知數であり、 $m_1$ ,  $x_1$  及  $v$  のみが最大垂矢の點の位置によつて變るのである。若しケーブルの自重が相當大きくて、最大垂矢の點を正確に決定することが困難な時には、近似的にその位置をきめても普通の場合には満足な結果を與へる。

圖-2. 數値例



今計算例として圖-2 に示す如きケーブルの水平引張力を求めてみる。

ケーブルの自重は無視し、最大垂矢を  $A$  より下 2 ft とする。

$$E=4, y_1=2, L=50, y_1/E=0.5$$

$$M=20 \times 40 + 30 \times 30 + 40 \times 15 = 2300 \text{ ft-lb.}$$

$D$  を最大垂矢の點と假定すると

$$x_1=20 \text{ ft}, m_1=20 \text{ lb} \times 10 \text{ ft}=200 \text{ ft-lb.}$$

$$V_L = \frac{200 + 2300 \times 0.5}{20 + 50 \times 0.5} = \frac{1350}{45} = 30 \text{ lb}$$

$D$  より左では  $v=20 \text{ lb}$ , 右では  $v=50 \text{ lb}$  となり  $V_L - v$  は符号を變へるから  $D$  點は最大垂矢の點であることが解る。

従つて (4) 式より

$$H = \frac{2300 \times 0.4 - 200}{4 \times 0.4 + 2} = \frac{720}{3.6} = 200 \text{ lb}$$

## 水 理

### (2) 水門流出水の理論的並に實驗的研究

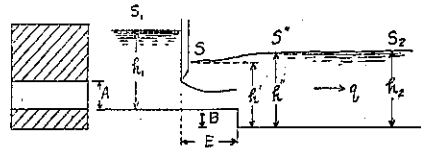
M. Escande; "Recherches Théoriques et expérimentales sur l'écoulement par vanne de fond." Revue Générale de l'Hydraulique, No. 25, 1939

p. 21~34

本間仁抄

先づ水門の開口部の幅が水路幅に等しい場合を考へる(圖-3)。流量を  $q$ , 断面  $S_1$ ,  $S$  及  $S_2$  に於ける平均流速を  $v_1$ ,  $v$  及  $v_2$  とすれば

圖-3.



$$q = h_1 v_1 = m A v = h_2 v_2$$

但し  $m$  は扉による收縮係数である。断面  $S'$  に於ける水深  $h''$  を次の様に與へる。

$$h'' = h_2 - \varepsilon h \quad \text{但し } h = h_2 - h'$$

$$\therefore \varepsilon = \frac{h_2 - h''}{h_2 - h'} = \frac{h_2 - h''}{h}$$

水路幅を  $w$  とすれば方程式は

$$\rho q(v_2 - v) = \frac{w(h' - B)^2}{2} + w \left( h'' - \frac{R}{2} \right) B - \frac{wh_2}{2}$$

a)  $\varepsilon=1$  と假定すれば  $h''=h'$

$$h'' = h_2^2 - \frac{2g^2 h_2 - mA}{g mAh_2}$$

b)  $\varepsilon=0$  と假定すれば  $h''=h_2$

$$(h' - B)^2 = (h_2 - B)^2 - \frac{2g^2 h_2 - mA}{g mAh_2}$$

c) 實驗値に近くなる様に  $\varepsilon=0.25$  と假定すれば、

$$(h' - B)^2 = (h_2 - B)^2 - \frac{2g^2 h_2 - mA}{g mAh_2} + \frac{B}{2}(h_2 - h')$$

水門からの流出状態には潜射出水(射出水の表面が渦で覆はれたもの)と完全射出水(射出水の露出するも

の)との2種がある。 $h' > mA + B$ ならば潜射出水であるから、之等の間の限界を見出す爲に  $h' = mA + B$  の場合を考へれば

$$(h_2 - B)^2 - m^2 A^2 - \frac{2q^2}{g} \frac{h_2 - mA}{m A h_2} + 2B\epsilon(h_2 - B - mA) = 0$$

デイメンションのない量を導入する爲に  $\frac{h_1}{A}, \dots, \frac{B}{A}, \dots, \frac{q}{A\sqrt{A}}, \frac{v}{\sqrt{A}}$ , ……等の量を用ひれば  $\epsilon$  の3種の値に對して次の式が得られる。

$$a) \epsilon = 1, \left(\frac{h_2}{A}\right)^2 - \left(m + \frac{B}{A}\right)^2 - \frac{2}{g} \left(\frac{q}{A\sqrt{A}}\right)^2 \frac{A - m}{m \frac{h_2}{A}} = 0$$

$$b) \epsilon = 0, \left(\frac{h_2}{A} - \frac{B}{A}\right)^2 - m^2 - \frac{2}{g} \left(\frac{q}{A\sqrt{A}}\right)^2 \frac{A - m}{m \frac{h_2}{A}} = 0$$

$$c) \epsilon = 0.25, \left(\frac{h_2}{A} - \frac{B}{A} - m\right) \left(\frac{h_2}{A} - \frac{B}{2A} + m\right)$$

$$- \frac{2}{g} \left(\frac{q}{A\sqrt{A}}\right)^2 \frac{A - m}{m \frac{h_2}{A}} = 0$$

之等の式から限界状態を表すべき  $h_1$  が計算出来る。水門からの流出流量は完全射出水の時に

$$\frac{q}{A\sqrt{A}} = m \sqrt{\frac{2g \frac{h_1}{A}}{1 + \frac{m}{\frac{h_2}{A}}}}$$

潜射出水の時に

$$\frac{q}{A\sqrt{A}} = m \sqrt{2g \left(\frac{H_1}{A} + \frac{B}{A} - \frac{h'}{A}\right)}$$

但し  $H_1$  は水門上流に於ける全水頭である。

射出水が種々の状態を表すのは  $\frac{h_1}{A} + \frac{B}{A}$  と  $\frac{h_2}{A}$  の間の關係によつて定まる。圖-5, 6, 8は実験の結果から之等の關係を示したものである。各領域  $A, B, C, \dots$  の意味は次の通りである。

A……完全射出水で水脈は下方に向く(圖-4)。

B……“ “ “ 上方に向く。

圖-4.

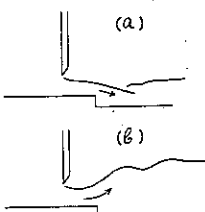


圖-5.

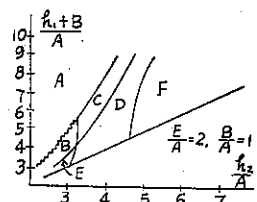


圖-6.

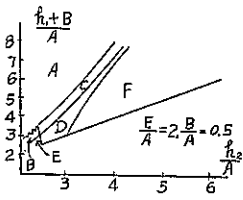
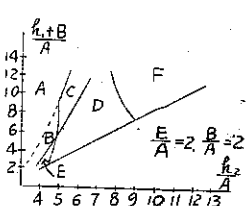


圖-7.



C……潜射出水で

下向き又は完  
全射出水で上  
向きになる。

D……潜射出水で  
水脈は時によ  
り上方にも下  
方にも向ふ。

E……潜射出水で

水脈は上方に  
向く。

F……潜射出水で  
水脈は下方に  
向く。

残りの領域では射流  
を現さない。尙圖-9  
には  $\frac{q}{A\sqrt{A}}$  と  $\frac{h_1}{A}$  の  
実験値を示す。尚開

口部の幅が水路幅よりも狭くなつた場合の實験もあるが之は省略する。

### (3) 地下水流量の新公式

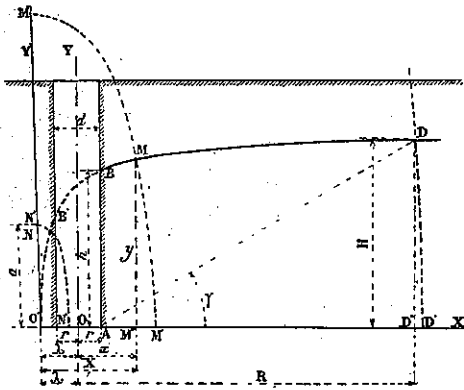
(A) Vibert; (Nouvelles formules pour le calcul du débit des nappes); Le génie civil, 11 Mars 1939, p. 216~217.  
永井莊七郎 抄

研究の結果井戸の周囲の地下水流には速度ボテンシャルが存在することを認めねばならぬ。其の等ボテンシャル面の母線は、一定の偏心率を持ち、同一の中心の而も長軸は井戸の底面(水流の基礎面)に垂直なる如き橢圓であらねばならぬ事が判つた。此の假定は實際に適用して正しい事が證明された。

(1°) 流量式。鉛直軸  $OY$  を軸とし直徑  $d = 2r$  なる圓柱形井戸の底面  $OX$  は不滲透層であるとする。流量  $q$  を吸上げた時の水面低下曲線(水壓勾配線)を  $BMD$  とし其の曲線上の任意の點  $M(X, y)$  に於て等ボテンシ

ヤル面の母線  $MM'$  と交はる。而して  $M'MM''$  は  $O'$  を中心とし  $\overline{O'M'}$  を短軸、 $\overline{O'M''}$  を長軸とする橢圓である。等ボテンシャル面の凡ての母線は  $O'$  を中心とし、同一の偏心率を有する橢圓である。水面低下曲線  $DMB$  は之等の母線に直角に交はり乍ら  $B'$ 、 $N'$  に延長して  $O'$  に於て  $\overline{O'M'}$  に垂直に交はる。 $O'$  の座標は  $(-D, 0)$  である(図-10 参照)。

圖-10.



母線の座標軸原點を  $O'$  に移し、任意の母線  $N'NN''$  の長軸  $\overline{O'N'} = a$ 、短軸  $O'N' = b$  とすれば

$$\frac{X^2}{b^2} + \frac{y^2}{a^2} = 1 \quad \dots \dots \dots (1)$$

其の偏率  $\frac{c}{a} = \text{const}$  である、之を書直すと

$$X^2 + y^2 \beta^2 = m^2 a^2 \beta^2; \quad \beta = \frac{b}{a} < 1 \quad \dots \dots \dots (2)$$

$N'NN''$  は  $N$  點に於て低下曲線に直角に交はるから、低下曲線に對しては

$$\frac{dy}{dX} = \frac{\beta^2 y}{X} \quad \dots \dots \dots (3)$$

從つて低下曲線の方程式は

$$\log_e y + C = \beta^2 \log_e X \quad \dots \dots \dots (4)$$

井戸の軸  $OY$  から  $R$  距つた點  $D$  に於ては

$$\frac{dy}{dX} = \frac{\beta^2 H}{\lambda + R} \quad \dots \dots \dots (5)$$

井戸の軸から充分離れた點  $D$  に於ては(實際  $R=10 \sim 15$  m)半径  $R$ 、高さ  $H$  なる圓盤面からの流量  $q$  は一般に次式で與へられる。

$$q = 2\pi R \varepsilon H \arctg \frac{dy}{dX} \quad \dots \dots \dots (6)$$

或は  $q = 2\pi R e \frac{\beta^2 H^2}{\lambda + R} \quad \dots \dots \dots (7)$

$n = \frac{q}{2\pi e}$  と置けば

$$\lambda = \frac{R}{n} (\beta^2 H^2 - n) \quad \dots \dots \dots (8)$$

(4) 式の const  $C$  を決定するには  $D(\lambda + R, H)$  及  $M(x + \lambda, y)$  は低下曲線上にあるから

$$\log_e H + C = \beta^2 \log_e (\lambda + R) = \beta^2 \log_e \frac{(R\beta^2 H^2)}{n} \quad \dots \dots \dots (9)$$

$$\begin{aligned} \log_e y + C &= \beta^2 \log_e (\lambda + x) \\ &= \beta^2 \log_e \frac{R(\beta^2 H^2 - n) + xn}{n} \end{aligned} \quad \dots \dots \dots (10)$$

$$\therefore C = \beta^2 \log_e \frac{(R\beta^2 H^2)}{n} - \log_e H \quad \dots \dots \dots (11)$$

之を (10) 式に入れると、

$$\therefore \frac{y}{H} \left( \frac{R\beta^2 H^2}{n} \right)^{\beta^2} = \left( \frac{R(\beta^2 H^2 - n) + xn}{n} \right)^{\beta^2}$$

$$n = \frac{q}{2\pi e} \text{ を置きかへると}$$

$$q = \frac{2\pi e R \beta^2 H^2 \left[ 1 - \left( \frac{g}{H} \right)^{\frac{1}{\beta^2}} \right]}{R - x} \quad \dots \dots \dots (12)$$

$x=r$  にて  $y=h$  であるから

$$q = \frac{2\pi e R \beta^2 H^2 \left[ 1 - \left( \frac{h}{H} \right)^{\frac{1}{\beta^2}} \right]}{R - r} \quad \dots \dots \dots (13)$$

式中の  $\varepsilon$  は滲透率である。又  $\frac{1}{\beta^2} \approx 20$  である。

(2°) 低下曲線(水壓勾配線)の方程式

井戸軸を含む鉛直断面内に於ける低下曲線は (12) 式より

$$R - x = \frac{\beta^2 R H^2}{n} \left[ 1 - \left( \frac{y}{H} \right)^{\frac{1}{\beta^2}} \right], \quad \dots \dots \dots (14)$$

(3°) 溝状井戸 (Exutoire rectiligne)

集水渠或は溝状井戸に於ける流量  $q$  は

$$q = \frac{L e \beta^2 H^2 \left[ 1 - \left( \frac{h}{H} \right)^{\frac{1}{\beta^2}} \right]}{l}, \quad \dots \dots \dots (15)$$

其の場合の低下曲線或は

$$\begin{aligned} l - x &= \frac{L e \beta^2 H^2 \left[ 1 - \left( \frac{y}{H} \right)^{\frac{1}{\beta^2}} \right]}{q} \\ &= K \left[ 1 - \left( \frac{y}{H} \right)^{\frac{1}{\beta^2}} \right], \end{aligned} \quad \dots \dots \dots (16)$$

式中  $L$  は地下水の流出方向に直角に測つた井戸或は渠の長さ、 $H$  は井戸軸から十分離れた所謂影響圈上に於ける低下曲線の縦距であり、 $l$  は其の横距である。

圖-11 は直徑 1m の井戸に於ける實際の低下曲線を示すものである。之によれば以上の方程式に因り求めた

曲線は實際のものと極めて良く一致してゐる事が判る。之に反し、Dupuit の曲線は相當異つて來る。

圖-11.



## 材 料

## (4) 新光學的應力測定器

(L. Föpl und R. Hiltcher; "Die neue Spannungsoptische Apparatur des Mechanisch-Technischen Laboratoriums der Technischen Hochschule München" Der Bauingenieur, Heft 17/18 5 Mai 1939, s. 281~282.)  
村上永一抄

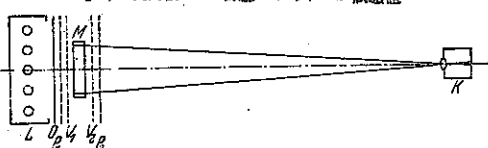
先づ舊式の装置の要點を述ぶれば、偏光子 (polariser), 檢光子 (Analyser) として使用する 2 つのニコールプリズムと小さいニコールプリズムを光線が通過する爲に光線を集約し、又試験體を通過する前に再び平行光線とする目的のレンズより成つてゐて、プリズム、レンズ、試験體 1/4 波長板等は一所にあり、2 m 離れた光學的作業臺の上にコンペナセーターが置いてあつた。

新測定器では精巧に造られたフィルター偏光子により初めて光學的應力測定に本質的改革と簡易化をなしえた。

圖-12 に示す如く新測定装置は總てのレンズは必要でなく、1 つの電燈 (L) 1 つの不透明板硝子 (O) 2 つの偏光子 ( $P_1$  と  $P_2$ ) 及 2 つの 1/4 波長板 ( $v_1$  と  $v_2$ ) により成り試験體は 1/4 波長板の間に置いた。

圖-12. 光學的應力測定器の原理

L 電燈箱, O 不透明板硝子,  $P_1$ ,  $P_2$  フィルター偏光子,  $v_1$ ,  $v_2$  1/4 波長板, K 撮影カメラ, M 試験體



舊式の場合は直徑 7 cm 迄しか測定出来なかつたが新裝置では 30 cm × 30 cm 程度の試験體に適用出來、橋梁その他の大構造物の研究に好都合である。

ランプの後にある金屬板に依り光線は總ての方向に散乱するが眼又は寫眞装置 (圖-12 の K) が試験體から充分 (2~3m) 離れてゐるので散乱した光線の中試験

體を通過して平行又は平行に近い光線のみを観測する結果となる。故に寫眞装置の光軸上にある試験體の部分のみ寫眞に取られる。カメラの適當なる間隔に依り映象の最大角誤差は小さくなつた (約 2°)。これに依つて生ずる誤差は他の原因による誤差の範囲内である。比較的大なる誤差は試験體に完全に垂直でない光線が試験體に入出する場合に他の應力状態に依つて影響されることに依つて生ずる。

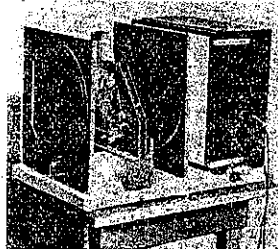
此の誤差は應力

の急激な上昇の場合生じ易い。此の場合吾々は切目、穿孔、急な曲り等の試験體上の點をカメラの光軸上に置くことに依つて此の誤差は避けられる。實驗の場合常に誤差の原因を排除出来るから、コンデンサーレンズを用ひて平行光線を得る必要はない。

舊装置に比して新装置の大なる利點は、簡易な操作、非常に安い價格、容易に持ち運びが出来ることである。又新装置の進歩せる點は試験體の上面を磨くことがそれ程必要でなくなつたことである。

圖-13.

ミュンヘン高等工業機械技術研究所の光學的應力測定器



## (5) 特殊ポルトランドセメント

(Gabriel A. Ashkenazi; "Special Portland Cements" Cement and Lime Manufacture Vol. XII, No. 5, May 1939, p. 91~98.)  
福島彌六抄

セメントの水和熱は大塊コンクリートの容積變化を起し龜裂發生の原因となるので、米國に於ては普通ポルトランドセメントと成分割合を異にする所謂「低熱セメント」が要求され又製造されて居る。此のセメントは普通セメントに比較して、石灰少く、酸化鐵多く、從つて水硬率低く、鐵率も小にして、例へば Morris 堤防に使用した代表的低熱型セメントの成分割合は  $\text{SiO}_2$  23%,  $\text{CaO}$  60%,  $\text{Al}_2\text{O}_3$  5%,  $\text{Fe}_2\text{O}_3$  5% である。即ち、此のセメントは水硬率 (約 1.8) が低く鐵率 (0.64) も小なる 1 種のポルトランドセメントである。然しながら、此のセメントは既に 40 年以前に製造されたセメントと質的に異つて居ないものである。例へば D. B. Butler 氏は 1888 年の或る英國製セメントは、 $\text{SiO}_2$  23.4%、

$\text{CaO}$  60.9%,  $\text{Al}_2\text{O}_3$  5.85%,  $\text{Fe}_2\text{O}_3$  4.65% と報じ, S.B. Newberry 氏は 1897 年の或る米國市販セメントに  $\text{SiO}_2$  20.6%,  $\text{CaO}$  62.8%,  $\text{Al}_2\text{O}_3$  36.9%,  $\text{Fe}_2\text{O}_3$  5.4% のものがあつたと報じ, 又 1898 年に Philadelphia 市セメント試験所は當時の普通セメントは  $\text{SiO}_2$  20.99%,  $\text{CaO}$  60.75%,  $\text{Al}_2\text{O}_3$  4.12%,  $\text{Fe}_2\text{O}_3$  5.4% であつたと報じて居る。此最後のものは  $\text{C}_3\text{A}$  含量僅に 1.4% にして少量であり, 今日の理想的低熱セメントと言ひ得られるであらう。

從來の試験成績 斯くの如き 40 年前のセメントは今日の専門家には一見奇異に見へるが, 相當の強度を表してゐた。1897 年 H. P. Boordman 氏の試験成績に依ると, 1:3 モルタル引張強さ 135~246 lb/in<sup>2</sup> (7 日), 209~316 lb/in<sup>2</sup> (28 日) であり, 之を Morris 堤用低熱セメントの引張強さ 200~231 lb/in<sup>2</sup> (7 日) 及 353 lb/in<sup>2</sup> (28 日) と比較しても大差なく, 此間に相當の進歩があつたとは考へ得られなく, 又低熱セメントが Morris 及 Boulder 堤のコンクリート工事に成功した事實も此意見を裏切つてゐない。何故ならば, 既に 40 年前に小規模の大塊コンクリート工事に此種のセメントが大した試験も經ずして用ひられて良結果を收めて居るからである。例へば, Crystal Spring 堤 (1887~1890 年) に當時のセメントが使用され, 此堤のコンクリートは其後 40 年の間硬く丈夫であり龜裂, 漏水が無く, 桑港の大地震を経ても毀損されずに存在するとの報告もある。一方今日の普通セメントも或る大塊コンクリートに使用して成績の香しからざる例もある。例へば Owyhee 堤は之を使用しその周縁に龜裂の發生を見た。然しながら此原因がセメントに依るとは未だ立證されてゐないものである。斯くてセメントの種類が變つてもコンクリートの性質を著しくは變化させないだらうとの意見もある。一般に, セメントはコンクリートの性質に影響を與へる一要素に過ぎなく, コンクリートの配合, 混合, 水量及養生等の條件がより以上の重要性を有する事が認められて居る。大塊コンクリート内部は非常に緩に乾燥し水和熱による温度變化に依り可成の歪を生ずる, 斯くの如き見地より大塊コンクリート技術者が最低發熱のセメントを選ぶ理由がある。然しながら, 水和熱は他の要素に較べて附隨的役割をするに過ぎず, 例へば, 普通セメントの代りに低熱セメントを用ひて約 10°F 或は 15°F の温度を下げても氣象作用によるコンクリートの始發及最高の温度差に較ぶると屢々重要な場合もある。事實, J. L. Savage 氏は, コンクリートの温度低下に就ては施工溫

度がセメントの發熱の影響よりも甚だ重要な事を報じて居る。低熱セメントは發熱は少いが然し附隨的に可成り强度低下を伴ふ故に其效果は甚だ疑問となる。實際上低熱セメントは硬化が遅く早期强度も弱く寒冷期の使用に適せず Boulder 堤では冬期間は之と普通セメントの混合物を用ひて强度を補つてをり, 此處に於ける各月の最低温度の最小平均値は 39°F であつた。

大塊コンクリート用セメントとしては, 低温時でも硬化し且つ初めの數日間内に水和熱の大部分を放出し, 冷却時の龜裂に抵抗するに足る引張強さを有するコンクリートを造ることが必要である。低熱セメントは此要求に應ずるものでなく, 水和熱は初め緩かなるも長期間繼續する, 之に反して, 普通セメントは數日間に水和熱の大部分を發生してしまう。一方, 大塊コンクリート内部應力は低いからコンクリートの壓縮強さは大して重要でなく, 率ろ龜裂防止の爲めには引張強度の擴大なるが重要であるとの事は施工者が一般に認めるるものである。然るに, 低熱セメントの引張強さは低いものである。例へば, 加州大學材料研究室の成績に依れば, Boulder 堤用低熱セメントに大塊養生を行つた結果コンクリートの引張強さは 40 lb/in<sup>2</sup> (5 日) にして頗る貧弱であつた。

改良ポルトランド・セメント 斯く低熱セメントは硬化緩慢であり, 早期の強度特に引張強さも弱く, 又比較的多くの自由水がコンクリート中に生成され, 之等が種々の影響を及ぼすに鑑み, 最近は改良ポルトランド・セメント (Modified Portland Cement) が之に代つて好んで用ひられる様になつた。此セメントは先づ Grand Coulee 堤に用ひられ其成分は  $\text{C}_3\text{S}$  35~55%,  $\text{C}_3\text{A}$  < 7% と規定されてゐる。

此セメントの特徴は,  $\text{C}_3\text{A}$  は低熱セメントに類似し,  $\text{C}_3\text{S}$  は普通セメントと大差なく, 2 者の中間者たる觀を呈し又早期の引張強さは低熱セメントより大であるが良質の普通セメントに少しく劣るも, 早期に脱型出来る充分の強度を表し, 低温施工が可能であり且つ水和熱も 80 cal/gr (7 日) で中庸の値を示して居る。例へば, 此セメントを用ひ骨材 0~1.5 in, セメント含量 1brrl/yd<sup>3</sup>, W/C=0.40 なるコンクリート供試體 (6×33 in) の引張強さ (kg/cm<sup>2</sup>) は 105 (5 日), 265 (28 日) 及 295 (90 日) であつた。

セメントの成分と性質との關係 米國のセメント技術者は Bogue の計算法に依りセメントの成分を  $\text{C}_3\text{S}$ ,  $\text{C}_3\text{A}$ ,  $\text{C}_4\text{AF}$  に分けて考へる傾向があり, 又人工合成法による  $\text{C}_3\text{A}$  化合物は最大の發熱量を表し, センメ

ト中にも存在するものと一般に認められてゐる。斯くセメントの発熱の制禦には  $C_3A$  含量を成るべく小量となすに依ると考へられ、實際の製造には酸化鐵を添加して礫土の一部を  $C_4AF$  となして  $C_3A$  の量を少くして居る。然し人工合成法による場合は兎も角、工場で實際造つたセメント焼塊中の  $C_3A$  の検出は相當に困難にして其存在も充分に明かにされない場合もある。例へば Brown は數箇のセメントに就て礫物的試験したが算式上よりは  $C_3A$  が存するも、實際的には存在が不明であつたと報じてゐる。一方今世紀の初めに F. Ferrari 教授により礫土及酸化鐵を當分子量づつ含むフェラリ・セメントが造られ一時顧り見られなかつたが最近に至り再び注目されて來た。此セメントは Albert 氏により研究され普通セメントに比して優れた質のものなるを確められ、其成分は  $C_3S$  75%,  $C_4AF$  25%, 硅酸率 1.47 であり、高發熱性及可溶性あり有害と考へられて居る  $C_3A$  を含まないものである。

大塊コンクリート内の熱の蓄積 著者は米國の大塊コンクリート用特殊セメントに就ての研究問題を検討してコンクリート中に熱が蓄積する危険を疑はざるものであるが、然し此危険は特殊のセメントを使用するだけで本質的に解消するとは考へない。例へば普通セメントは早期強度が強く水和熱 80~100 cal/gr(7日)であるが Boulder 堤堤用セメントは最高 65 cal/gr であり從つて其差が 15~35 cal/gr となり、これが比較的貧配合のコンクリートに著しく影響を與へるとは考へ得なく、寧ろ其他の因子が重大な影響を及ぼすものであらうと考へる。即ち、大塊コンクリートに與へる熱影響の危険は熱の擴散の改良手段、例へば高熱傳導質の骨材の使用、良好な熱放散條件を具ふる様に施工上の注意、人工冷却の應用等に依り減少又は除去し得るものである。J. L. Savage 氏は Boulder 堤堤に就て“若し人工冷却を用ひざれば、コンクリートの終局最高温度は、たとひ施工條件及打込み速度を同じにしても之に用ひたセメントの種別の何たるに關係なく實際上同じ程度であつたらう”と論じてゐる。

茲に著者は大塊コンクリート用セメントに就て、其水和熱を以て一方的見地より考へらる事に疑問を有するものあり、此種セメントの評價の標準としては水和熱の絶對的割合でなくセメント 1 gr の發熱量に對する強度の發揮即ち(強度/水和熱比)が重要な意味を持つと考へる。此點に就ては低熱セメントは勿論、改良セメントも充分なものではない。

規格に於ける特殊要項 近年に至り米國セメント製

造者は計算による水硬性化合物の割合を以てセメントの性質を定める傾向が見へ、又各種の工事のセメント仕様書に此化合物の制限を附けて表してゐる。然しながら計算による化合物の決定は正當であるとは言へない。何故ならば、

- (1) 成分の錯雜した影響に關する我々の知識は完全なものではない。
- (2) 計算した化合物と其水和熱との間には満足すべき關係が見出せない。
- (3) 其化合物は純粹の型では存在せずして一部は固溶體の狀態に存するものである。

次に特殊セメントの規格に於て重要な役割を有する  $C_4AF$  の存在は多數の研究者の認むるものであつたが、最近の山内氏のヤリット部分に關する研究に依ると、此化合物に就て新しい疑惑を生じた。又米國にてはかかる傾向に變化を生じ、P. H. Bates 氏は此化合物に依るよりもむしろ製造の操作に注意してセメントの改良を計る必要があると言つてゐる。

著者はセメントの性質に關して特定の化合物の含有量を嚴密に規定することは現在では不必要と考へる。米國のセメント製造者は多くの異なる規格の爲め各種のセメントを造る必要があるが之れは特別の場合に可能なるも一工場で各種のセメントを作るのは一般に甚だ困難であり不可能のこともあり得る。

結論 要するに正當に製造されたポルトランド・セメントは多くのコンクリート構造物の築造目的に對して良く水硬性結合材料の性質を有し、此場に大塊コンクリートのみが除外されるものではない。此目的に用ふる爲めには、鐵化合物を増して不充分な(強度/熱比)を有する特殊セメントを用ふるより、むしろ早強性の早期に於て強大なる壓縮強さと引張強さを持つセメントを用ひて耐久性と伸張性の良い貧配合のコンクリートを作るべきである。

#### (6) 木材の不均等收縮

*(Heinrich Behr; "Das ungleiche Schwinden der Bauholz." Die Bautechnik, 9 Juni 1938. Heft 24 s. 329~330.)*

村上永一抄

樹木の含有液は大部分水で、一部は溶解質、一部は結晶質(糊精、糖分、蛋白質、稀発性油等)である。

樹脂には水の成分を含んでないことを茲に記入しておき、汁液の運搬はそれ自身吸収力ある纖維に依りて行はれる。木材の含汁量若しくは含水量は木材の種類に

依りては 60% を含有するものである。之は木材の性質、材齡、產地の状態、伐採の季節等に支配される。伐採材は通常 3 種の含水量等級に分ける。

1. 40~50% の含水の生材
2. 20~30% の含水の森林中乾燥材
3. 10~20% の含水の空気乾燥材

伐採した木材は含水量を次第に失つて纖維は瘦せ細り（然し長さは變化しない）白木質（若木材）は心材（老木材）より、又板は幹より多く収縮する。又硬質潤葉樹は針葉樹軟質潤葉樹等より多く収縮する。圖-14 は各種木材に就て

2 方向の収縮量を示す。

之から次の推定をなしうる。

- a) 木材は年輪の方向には 10% 近く収縮出来るが、髓線の方向には 5% 迄しか収縮できない。
- b) 一般に硬質潤葉樹は針葉樹、軟質潤葉樹より多く収縮する。

圖-14.

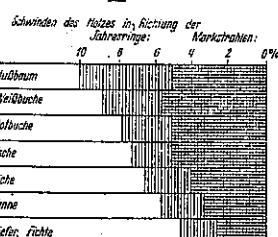


圖-15.

圖-15 は不均一収縮に依りて生じた變形を圖示し、生木の乾燥度に應じて加工物となつた場合にも多少の収縮は認められる。年輪に横の方向が髓線の方向よりも木材は 2 位も多くの収縮する。

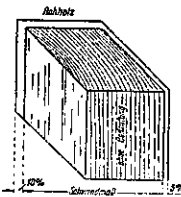


圖-16. 練瓦積の栓石

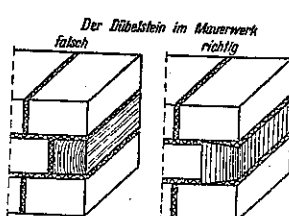
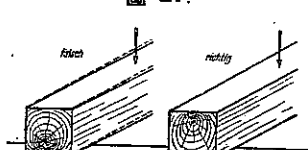


圖-17.



チンメルマン氏は心材側を上向きにした柄に於て、乾燥の際生じた應力を旨く利用して構を減少した。

圖-17 は角材の正しき設置を示す。木の北側は年輪

密であるから、之を上向にするのが良い、北側の材は南側に比して密度及耐荷力大で収縮は小さい。

階段に於て不快な軋をすることがある。これは木材の不均一収縮に依るもので、良く乾燥する白木質の面が上になる様に置くと木材は凹み（圖-17）接目板と前方の必要な接觸がなくなり、通行の際階段は下向きに反り不快な軋をする故に木縫側が上になる様に考慮しなければならぬ。

大工は垂直の年輪を有する床板（所謂柾目板）を選ぶ。之は板が丸くなり縁目が離れることがない爲である。木材加工で廣い木材板を眞平に維持する爲に往々必要なる合口縫は不動にして合口溝から弛まぬ様離れぬ様にしなければならぬ。それには縦に年輪の入った木材を使用せねばならぬ（圖-18）。

圖-18. 合口の縫

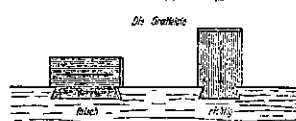


圖-19.

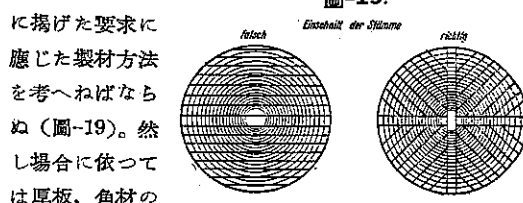
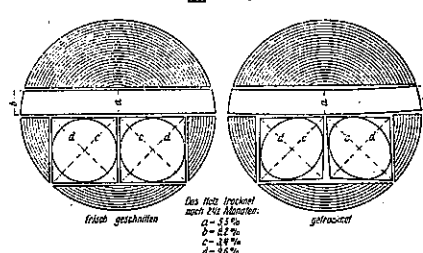


圖-20.



断面に不均一乾燥に依り歪がきて、加工の場合特別に混亂と故障とを再び起すことがある。例として切りたての山毛櫟材から切取つた角材（圖-20）の四角形断面をとれば、その元の圓形の横断面は不均一乾燥に依り卵形となる。

要約すれば、木材の註文の場合、伐採した儘の木材、森林乾燥材、空気乾燥材に應じて有效なる寸法を表記することは注意すべきである。量の變化に依り不愉快な驚を豫防するために、どれ程の含水率の木材が供給されるべきかを豫めその目的に應じて決めておかねばならぬ。

(7) 木材断面周縁部分の強度に及ぼす影響に就て

Otto Graf, "Über den Einfluß der Baumkante auf die Trägfähigkeit der Bauhölzer." Die Bautechnik, Heft 12, s. 164~166.  
尾之内由紀夫抄

永年來我々は適當に丸味を有する周縁部分を其の備有する木材の柾又は柱が通常の角材と同じ強度を有するものと考へて來た。此の理由としては木材纖維が其の周縁部に於て比較的一様に通つて亂れてゐない事のみならず圖-21に見る如く針葉樹の幹は通常外側に於て中心部より強い材質を有して周縁部を取除く事に依り比較的良い部分が切りとられてしまふと云ふ事である。夫故木材を適當に處理し出来るだけ多くの有効な木材を得る様に考慮する事が必要である。

建築用木材の強度に及ぼす断面周縁部の影響に就て明確なる解答を得る爲には過去に於ても既に多くの連

圖-21. 松材の圧縮強度の変化

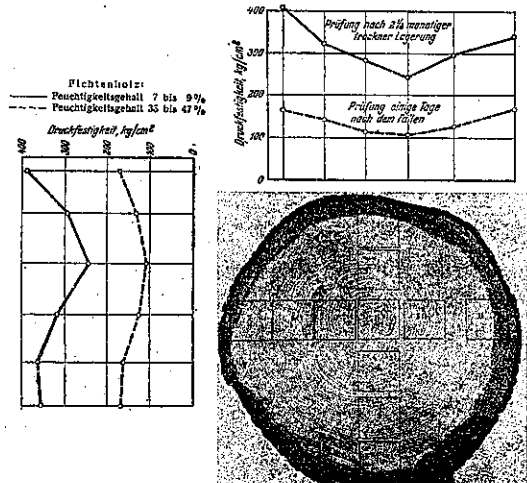
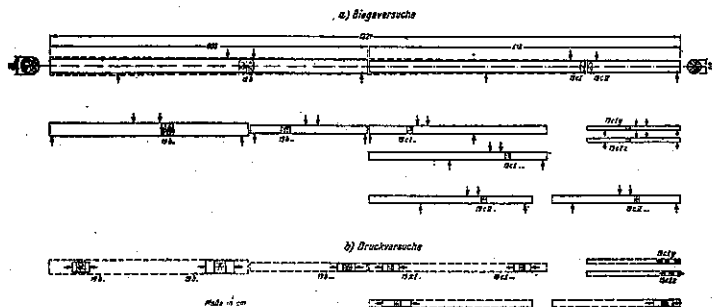


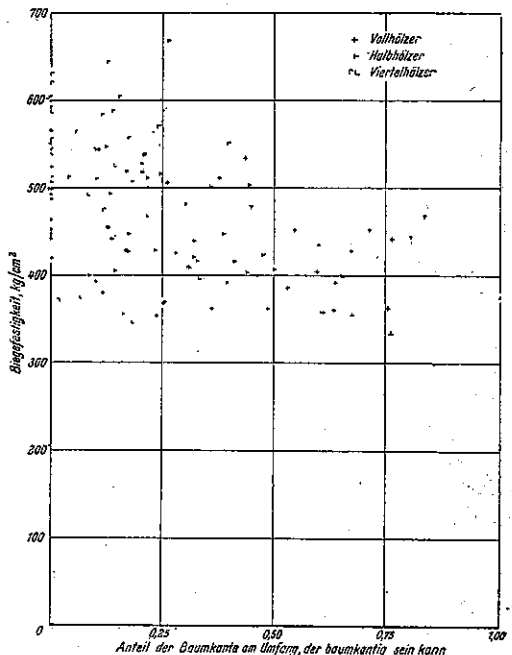
圖-22. 試験片、試験方法、試験順序



續的研究が行はれてゐる。ドイツ科學研究會及工事研究獎勵基金は木材問題に對する専門委員會に必要な手段を與へた。研究は未完成であるが、今此處に於て生の狀態即ち 30% 以上の水分を含んだ木材についての試験結果を報告しやう。實驗は圖-22に示す如き試験片につき曲げ及壓縮について行はれた。

上の如くにして行はれたる生材についての曲げ試験結果は圖-23に示されてゐる。縦軸上には曲げ強さ( $\text{kg}/\text{cm}^2$ ) 横軸上には木材断面に對する其の周縁部の量

圖-23. 曲げ試験結果



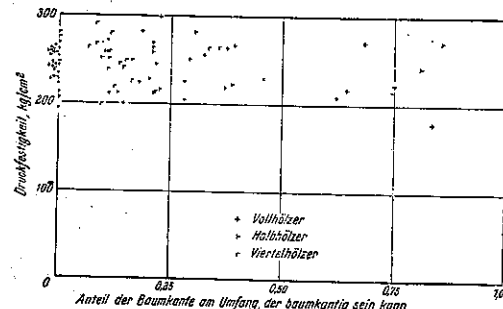
が周縁部として殘し得る量に對する實際木材周縁部の割合として表はされてゐる。此の圖に於ては完全材、半規割材、四分ノ一規割材等は夫々記號を以て區別せられてゐる。圖-23より次の事が理解せられる。

a). 曲げ強さを表す點の下方の散在状態は横軸に無関係か或は極く僅かしか關係を有しない。夫故松材に於ける断面周縁部分の量の一般的なる制限は曲げ試験の爲には必要でない。

b). 圖に於ける上限値は一般に断面周縁部の割合の減少と共に上昇する。

図-24 は周縁部として残し得る量に對する實際木材断面周縁部の比と周縁部無視の下に實驗計算せられたる壓力強度との關係を表してゐる。各點の散在状況は、周縁部分の量に無關係か或は極く僅か關係してゐる様に現れる。其故周縁部を有する木材は通常の角材と同様な荷重に抗し得る物である事が分る。強度に關するかくの如き考慮に依つて結論として生松材の梁又は柱に對する断面周縁部の制限は何等必要と考へられない」と云ふ事が出来る。此の結果が一般に通用するかどうか、即ち乾燥せる又は龜裂の入つた木材にも通用するかどうかは今後の研究に俟たねばならない。

図-24. 圧縮試験結果



然し乍ら一方に於て工事材料として切出し木材其の儘の周縁部分を或る程度に制限する事は挿入楔、デューベル等の使用に依り適當なる木材組立構造物を造る爲又は完全なる支承を得る爲に今日に於ても尙必要である。

図-25.



図-26.

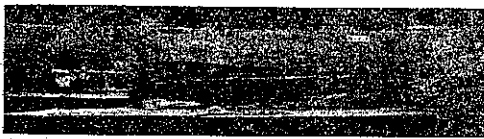


図-27.



る。

図-25, 26, 27 は夫々木材周縁部分を有する梁の破壊状態を示す。図-25, 26 は中央附近に節を有し其處で破壊が起らぬ様に鋸を以て溝をつけたる梁にして、図-25 は節の影響は殆どなく曲げ強さは  $386 \text{ kg/cm}^2$  であつた。図-26 は楔による鞍部に依り R 點で破壊し曲げ強さは  $406 \text{ kg/cm}^2$  であつた。図-27 は倒したり、積込んだりする事に依つて生じた傷に依り破壊を生じたもので曲げ強さは  $441 \text{ kg/cm}^2$  であつた。

### コンクリート及鐵筋コンクリート

#### (8) 破碎白雲石を用ひた振動コンクリート

M.O. Withey; "Factors affecting the Resistance to Freezing and Thawing of Vibrated Concrete made of Crushed Dolomite." J. of the American Concrete Institute. Vol. 10. No. 6, June 1939. p. 553~560.

福島蒲六抄

凍結及融解作用に對し相當の抵抗性のあるコンクリートを造るには其セメント含量を幾許にすべきかは從來より施工者間の問題であるが本試験は此目的に副ふ爲めに行つたものである。從來此抵抗性を測定する爲め、凍結及融解後、コンクリートの重量減少、膨脹或は壓縮強さ等を測つてゐたが例へば鋪装又は歩道の基礎版としての見地からは、曲げ強さの測定が更に良い比較標準であると考へられる。

此意見は Highway Research Board で行つた氣象作用に對するコンクリートの試験結果に基くものであり、 $6 \times 6 \times 18 \text{ in.}$  の梁型供試體を用ひてゐる。本試験は稠度が固く、密度の高いコンクリートとする爲め振動機で打つた供試體を用ひ又質が非常に硬く均一なる Niagara 産の白雲石を骨材に使用した。試験はセメント含量、水・セメント比及稠度を種々に變へたものに就て行ひ 101 個の曲げ強度の測定、200 個の壓縮強さの測定をなし又或ものには重量減少及膨脹等の測定をなした。試験は 1935 年の春に始め其年の間繼續した。

供試體の製作及養生 セメントは普通のポルトランド・セメントを使用し、粒度率 2.6 及乾燥時の比重  $111 \text{ lb/ft}^3$  の Janesville 産の砂を細骨材となし、一方粗骨材は白雲石を  $1\frac{1}{2}$  吋篩を通過する様に破碎し之を篩分けて  $3/4$  吋篩残量 48%,  $3/8$  吋篩残量 90% 及  $1/4$  吋篩残量 100% にして又乾燥重量  $98 \text{ lb/ft}^3$  なるものを粗骨材とした。比重はセメント 3.18, 砂 2.70, 粗骨材 2.73 であり骨材は夫々 0.7~0.6% の水量を含んでゐた。

先づ試験容器内で手練をなし、後濡つた布で覆ひ 1/2 時間放置し、更にスランプを測つた後鋼製モールド内に入れる。スランプ 1/4 及 2 時の供試體はすべて電動式振動機を用ひて搾固め、振動機は供試體の頂部に置き表面より水が出るまでかけた。其速度は 3600 r.p.m であり、振幅は 6 時距離

た海綿状ゴム cushion 上に置いた時に 0.06 時であつた。

供試體は 28 日間温室養生をなしたる後、凍結・融解試験をなした。

試験法 凍結・融解に供する梁型試験片は先づ 24 時間水中に漬けた後容器に入れて深さ 1 時の處まで水に浸して冷凍器中に入れた。図-28 は冷凍及融解時間と供試體の温度との関係を表したものである。16 時間冷凍したる後、それを取出し温度 70°F の湖の氷をかけて融解した。次に此供試體の中央に速度 0.027 時/分の割合で荷重をかけて曲げ強さを測り、後兩断した各部分を早強セメントに鹽化石灰 3% を添加したペーストでキャビングを施し 1 夜養生をなし、翌日之に速度 0.06 時/分の割合で荷重をかけて圧縮強さの測定をなした。

図-28.

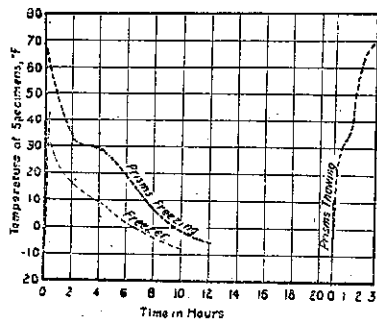


表-1.

Specimen	Mix by Weight C : S : D	Slump, in.	Specific Weight, lb./cu. ft.	w/c Weight	c	s	c/s	Cement
C1-15	1 : 4.60 : 8.39	0	154.0	0.671	0.0330	0.8570	0.377	3.57
C21-29	1 : 3.55 : 6.82	0	153.0	0.675	0.0697	0.8570	0.800	3.73
C21-38	1 : 3.09 : 5.55	0	153.0	0.673	0.0771	0.8535	0.463	4.39
C41-49	1 : 2.58 : 4.77	0	154.2	0.673	0.0571	0.9323	0.493	4.39
F1-15	1 : 4.05 : 7.82	0	155.6	0.616	0.0901	0.8601	0.430	3.36
F21-29	1 : 3.18 : 5.93	0	153.2	0.616	0.0739	0.8465	0.481	4.14
I-14	1 : 3.20 : 5.50	0	154.5	0.54	0.0692	0.9533	0.503	3.87
I-21-30	1 : 2.94 : 4.35	0	154.6	0.54	0.0543	0.8479	0.553	4.72
I-21-39	1 : 2.94 : 4.35	0	154.6	0.54	0.0543	0.8479	0.553	4.72
J41-33	1 : 3.65 : 5.82	0	154.3	0.54	0.1117	0.9192	0.616	3.25

試験成績 表-1 は配合、スランプ及水比等のコンクリート供試體の性質を表した。水・セメント比は 0.54~0.68 (重量)、即ち 6.1~7.6 品/袋を表し、セメント含量は約 3~6%, 袋/呉<sup>3</sup> であり、比重及密度は H であ

表-2.

Specimen	Mix by Weight C : S : D	Slump, in.	w/c Weight	Modulus of Rupture				Compressive Strength			
				28-Day		3-Mo. Expt'd Modulus (N)	After Freezing and Thawing N	28-Day		3-Mo. Expt'd Modulus (N)	After Freezing and Thawing N
				28-Day	7-Mo. Expt'd Modulus (N)			28-Day	7-Mo. Expt'd Modulus (N)		
C1-15	1 : 4.60 : 8.39	0	0.675	477	563	337	329	0.55	3328	4120	4110
C21-29	1 : 3.55 : 6.82	0	0.675	518	983	775	310	0.59	3388	4200	4043
C41-49	1 : 2.58 : 4.77	0	0.675	514	768	867	230	0.32	3385	4125	4125
F1-15	1 : 4.05 : 7.82	0	0.616	603	928	770	427	0.72	4259	3060	3060
F21-29	1 : 3.18 : 5.93	0	0.616	723	944	523	477	0.72	3802	4730	4470
I-14	1 : 3.20 : 5.50	0	0.54	730	840	934	273	0.91	4934	5820	5560
I-21-30	1 : 2.94 : 4.35	0	0.54	750	850	920	242	0.52	3225	5715	5380
I-21-39	1 : 2.94 : 4.35	0	0.54	750	850	920	242	0.52	3225	5715	5380
J41-33	1 : 3.65 : 5.82	0	0.54	745	698	1137	879	0.51	4861	6020	5715

る。

表-2 は普通の強さ及凍結・融解を 150 週期なした後の強度を表す。3 ヶ月に於ける計算より求めた強度は、150 週期の凍結試験の間何等コンクリートに損傷作用が起らないと見做した場合に達し得る強度と考へられ、茲に強度は材齢の対数に比例すると見做して次の式により算出した。 $S_3 = 0.43 S_1 + 0.57 S_7$  但し  $S_1$ ,  $S_3$ ,  $S_7$  は夫々 1 月、3 月及 7 月の強度。此計算に依り表-2 に求めた比 F/N は、凍結及融解により受けるコンクリートの損傷の程度を表す指標と考へられる。×表-2 及図-29(a)を見ると、上記のコンクリートの損傷は冷凍後の破壊係数 (Modulus of rupture) 或は之に基く比 F/N に依る方が圧縮強さ或は之に基く比 F/N によるよりも一層鋭敏に表はされてゐる事が分る。図-29 は冷凍試験による水・セメント比と圧縮強さ、破壊係数及比 F/N との関係を、又図-29(b) はセメント含量と夫等の強度との関係を表はして居る。

而して図-29 (a) の方が図 29 (b) よりもコンクリートの凍結・融解に對する抵抗性を一層良く示して居る。

表-3 及図-30 は重量減少及膨脹との関係を表し、之

図-29.

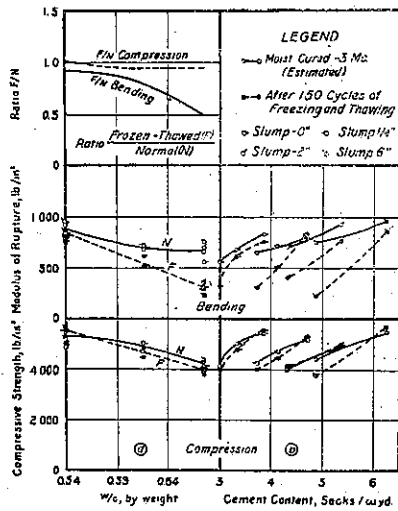
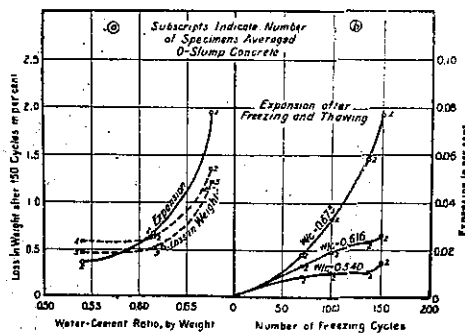


表-3.

Specimen	Mixture Weight C : S : D	Slump, in.	W/ Weight	Absorption in Water Room, Per Cent	After 150 Cycles of Freezing and Thawing	
					Per Cent Loss in Weight	Per Cent Expansion
C1-15	1 : 4.60 : 8.59	0	0.675	1.03	1.21	-0.077
C2-20	1 : 3.65 : 6.62	24	0.675	0.89	0.76	-
C4-49	1 : 2.58 : 4.77	24	0.675	0.98	1.79	-
F1-15	1 : 4.05 : 7.52	0	0.610	1.23	3.77	-
F2-20	1 : 3.18 : 5.85	0	0.610	0.98	0.50	0.0235
H1-15	1 : 3.45 : 6.15	0	0.54	1.13	0.47	0.0142
H2-30	1 : 2.55 : 5.15	0	0.54	0.97	0.25	0.0265
I2-39	1 : 2.34 : 4.35	0	0.54	0.92	0.23	0.0265
J4-32	1 : 1.95 : 3.62	0	0.54	1.23	0.27	0.0220

圖-30.



等の図表の内、圖-30(a)が凍結によるコンクリートの損傷の度を良く表してゐる。

圖-31は、水・セメント比を變へて凍結・融解を150週期繰返した後のコンクリート供試體の損傷の程度を表した寫真である。此試験中1個の供試體も崩壊しなかつたが供試體-C ( $W/C = 0.68$ ) は可成弱され最も強度の減少を見た。これに反して、供試體-I ( $W/C = 0.54$ ) は最大の抵抗性を表して居り、稠度はスランプ1/4時のものが最も有效であった。次に成績を比較する爲め、粗骨材に砂利を用ひたものと比較すると白雲石の碎石を用ひたコンクリートの方が同じ水・セメントの時には遙かに強い抵抗性を表した。

### 結論

(1) 水・セメント比0.54のコンクリートが凍結・融解に對して最良の抵抗を表す。

(2) 水・セメント比を一定とした場合には、稠度即ちスランプを0~6時に變へる事に依つて生ずる抵抗性



### (9) 鐵筋コンクリート梁に於ける斜肋筋の熔接

Dewey M. McCain; "Welded Shear Reinforcing for Concrete Beams", Civil Eng., Vol. 9, No. 7, July 1939 p. 418~421.  
一木保夫抄

從來肋筋は梁に對して直角に入れ之を主鐵筋に結束するのが普通の方法である。しかしこの方法は次に述べる様な種々の缺點を有してゐる。

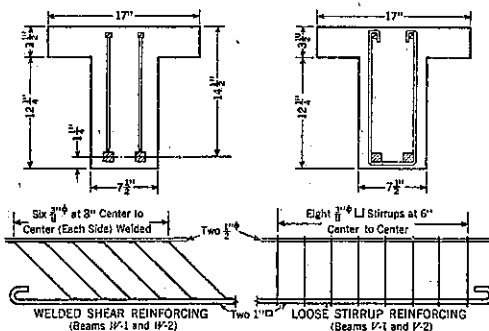
1. 鐵筋全體の不連續性。
2. 梁に亀裂が入るまで肋筋は殆ど働かない。
3. 肋筋の設計は殆ど大部分假定によつて行つてゐる。

之等の缺點を有してゐるために、從來の方法に代る他の方法が色々考へられて來たのである。

茲に1929年以來約10ヶ年にわたりて研究し實驗を行つた内から極く重要な部分をぬき出して簡単に述べる。

實驗に使用した試験梁は圖-32に示す如く、從來の方

図-32. 試験梁の配筋



法によるものと、筋筋を主筋筋に斜に溶接したものである。実験の結果は図-33～37に示す如くで順次説明を加へて行くが、歪測定の読みはいづれも2回宛とった。

図-33は引張主筋筋に於ける、測定した應力と計算より出した應力との比較及中立軸の位置を示すが、計算應力と測定應力は非常によく一致してゐる。但し應力の計算には實験によつて得た中立軸の位置を用ひたのである。

図-33. 引張主筋筋に於ける測定應力と計算應力との比較及中立軸の位置

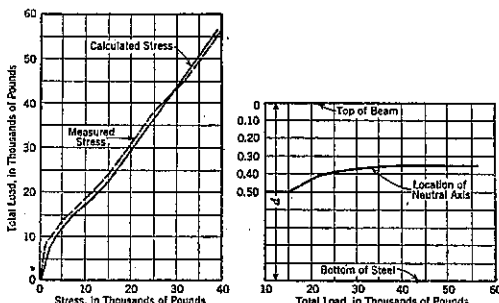


図-34及図-35は筋筋の荷重應力曲線を示すが、之より解る如く、從來の方法による筋筋はコンクリートに龜裂が入るまでは殆ど働いてゐない。之に對して斜に溶接した筋筋は荷重がかゝると同時に働いてゐる。勿論この應力と雖も、龜裂が入つた後の應力に比較すれば小さいが、とにかく荷重がかゝると同時に應力をとり得ることを示してゐる。

又從來の方法による筋筋の應力は不確實なばかりでなく、普通用ひてゐる計算は單なる假定に過ぎないことが解る。即ち図-34の筋筋1-7及3-4は對稱の位置にあるにも拘らず、その應力の間に非常な差異がある。計算によれば之は當然等しくなるのである。 $f_v = \frac{V' s}{A v j d}$

図-34. 試験梁 W-1 及 V-1 に於ける筋筋の荷重應力曲線

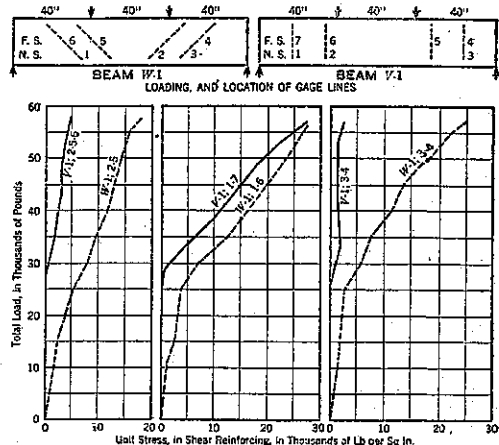


図-35. 試験梁 W-2 及 V-2 に於ける筋筋の荷重應力曲線

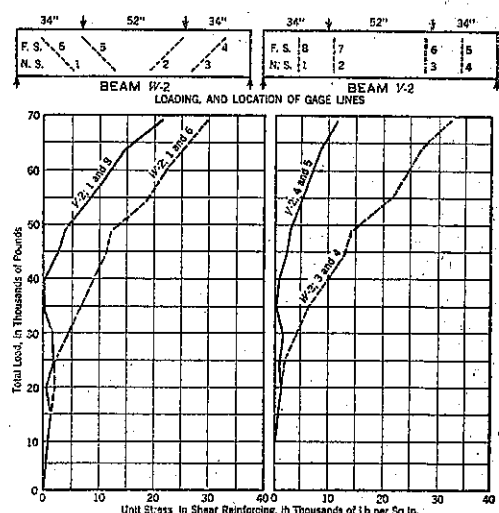


図-36. 筋筋の測定應力と計算應力との比較

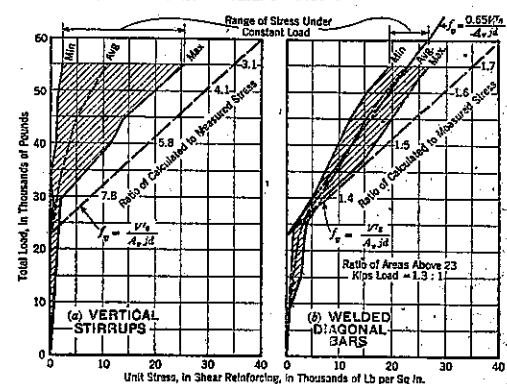
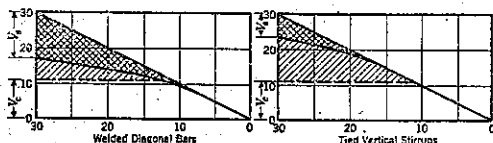


圖-37. 剪断力圖



なる式より計算した應力は圖-36(a)に示す如く平均測定應力の3.1~7.8倍になつてゐる。即ち荷重と應力の間には全然一定の關係がないと云ひ得るのである。

圖-38. 斜熔接助筋を有する梁の試験破壊

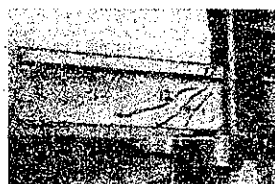


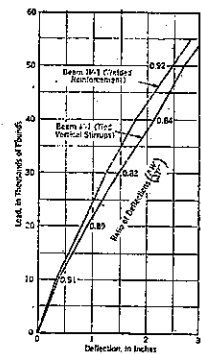
圖-39. 梁の曲げ試験



之に對して斜熔接助筋の方は圖-36(b)に示す如く、計算應力は測定應力の1.4~1.7倍になつてゐる。即ちこの鐵筋比に對しては  $f_v = \frac{0.65 V's}{A_{vjd}}$  なる式を使へば實際と應力とよく一致し、荷重應力の關係が成立するのである。

助筋の設計に當つては、一定量の荷重をコンクリートでとり、残りを助筋にとらせるのであるが、この場合助筋の間隔は  $s = \frac{A_{vfd}}{V'}$  によつて求める。圖-37に剪断力圖を示すが、この内  $V_c$  はコンクリートにとらせる量であり、 $V_s$  が實際に助筋によつて受持たれ、斜線を施せる部分が残ることになる。この斜線を施せる部分の差が非常に大きくなつてても斜熔接助筋の優つて

圖-40. 梁の撓みの比較



ゐることが解るのである。

又兩者に於ける梁の撓みを測定して比較したが、その結果は圖-40に示す如くで、斜熔接助筋は剪断力による撓みを除き更に曲げモーメントによる撓みの一部を除いて、梁の剛性を増すに役立つことが見出された。

圖-41は連續梁に於ける鐵筋の配置を示す。斜熔接助筋を用ふれば、引張主鐵筋を曲げ上げる必要なく、(b)の様にすることが出来る。引張主鐵筋の量を特に減ずることはないが、約5%位は減じ得る。

圖-41. 連續梁に於ける鐵筋の配置

- (a) 従来の助筋を用ふる場合
- (b) 斜熔接助筋を用ふる場合

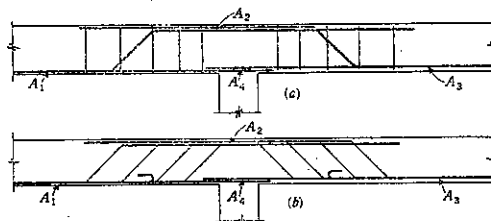


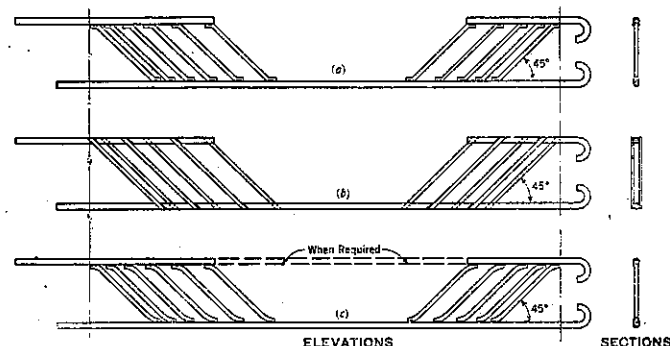
圖-42に助筋の熔接方法を示すが、この内理論的に見て(c)の方法が、コンクリートに局部的に大きな圧縮應力を生ぜしめないので、最も良い様であるが、何れも大した差はない。

又工費の點についても色々調べてみたが、結局從來の方法によるよりは約10%安くなる。

以上の研究より得られた結論は大體次の如くである。

1. 鐵筋コンクリート梁の上下の主鐵筋に斜鐵筋を熔接する方法は、何等特別の困難なく實用し得て、之により鐵筋全體の不連續性を除くことが出来る。
2. 斜熔接助筋の應力は相當正確に計算することが出来る。
3. 斜熔接助筋は梁の剛性を増し、龜裂を減ぜしめ

圖-42. 斜助筋の熔接方法



る。

4. 斜筋接肋筋を用ふる方法は、從來の方法よりも工費が安い。

#### (10) 鐵筋コンクリート鉢及搖承に關する一實驗

(Gaede; "Wälzgelenke und Stelzenlager aus Eisenbeton". Beton u. Eisen. Heft 11.  
5. Juni 1939. s. 184~185.)  
一木保夫抄

Graz の Bortsch 教授は既に鐵筋コンクリート鉢及搖承の應力計算方法を本誌に發表した(譯者註: R. Bortsch, "Die Spannungen in Wälzgelenkquadern", Beton u. Eisen, Heft 4. 20. Feb. 1935 參照)。

之に關し Hannover の Technische Hochschule で昨年の冬行つた實驗の結果を茲に紹介する。試驗片としては厚 19 mm, 一邊の長 298 mm の正方形鋼鉢を使用し、之に 50×38×80 mm の鋼片を試驗片と加壓板との間に挿入して載荷し、載荷 16 000 kg の場合の應力狀態を試驗したのである。圖-43 に示す如き各測點に Huggenberger-Tensometer を標點距離 20 mm として取付け、垂直、水平及左右 45° の 4 方向の歪を測定し、之より計算によって主應力の大きさ及方向を見出した。歪は各測點にて鉢の前後面同時に 5 回繰返して測定し、この約 10 ケの測定値の平均をとつた。4 方向の歪測定値より、主應力  $\sigma_I$  及  $\sigma_{II}$  は次の式により計算することが出来る。

$$\sigma_{I/II} = \frac{1}{4} E \left[ \frac{m}{m-1} (\varepsilon_1 + \varepsilon_2 + \varepsilon_3 + \varepsilon_4) \pm \frac{2m}{m+1} \sqrt{(\varepsilon_1 - \varepsilon_3)^2 + (\varepsilon_2 - \varepsilon_4)^2} \right] \dots \dots (1)$$

$m=3$  とすれば

$$\sigma_{I/II} = \frac{3}{8} E \left[ \varepsilon_1 + \varepsilon_2 + \varepsilon_3 + \varepsilon_4 \pm \sqrt{(\varepsilon_1 - \varepsilon_3)^2 + (\varepsilon_2 - \varepsilon_4)^2} \right] \dots \dots (2)$$

主應力の方向は

$$\alpha = \frac{1}{2} \cdot \text{arc} \operatorname{tg} \frac{\varepsilon_2 - \varepsilon_4}{\varepsilon_1 - \varepsilon_3} \dots \dots \dots (3)$$

垂直方向 (1) 及水平方向 (3) の應力は

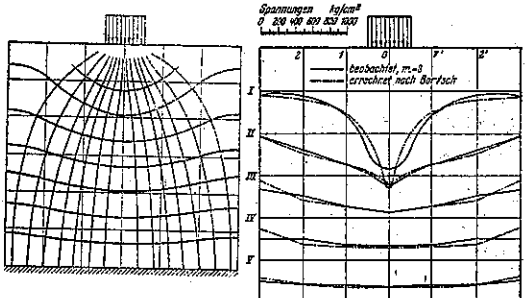
$$\left. \begin{aligned} \sigma_1 &= E \frac{m^2}{m^2-1} \left( \varepsilon_1 + \frac{1}{m} \cdot \varepsilon_3 \right) \\ \sigma_3 &= E \frac{m^2}{m^2-1} \left( \frac{1}{m} \cdot \varepsilon_1 + \varepsilon_3 \right) \end{aligned} \right\} \dots \dots \dots (4)$$

$m=3$  とすれば

$$\sigma_1 = \frac{3}{8} \cdot E (3\varepsilon_1 + \varepsilon_3) \dots \dots \dots (5)$$

圖-45. 水平断面 I~V に於ける垂直應力

圖-44. 應力分布狀態



試験結果より  $m=3$

として計算した結果は

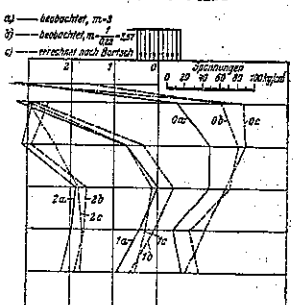
圖-44, 45, 46 の如くである。

之と比較するために圖-45 及圖-46 に Bortsch の式により計算した應力を線図で書きこんだが、兩者非常によく合致してゐる。但し断面 I の中央に於ける差異は、荷重傳達面に於ける荷重の分布状態が、Bortsch の假定したものと、實験に於けるものとでかなり異つてゐるための影響である。

茲に注意すべきことは、水平應力は計算に當り  $m$  のとり方によつて大いに影響を受けることである。圖-46 に参考として  $m=3$  として計算した外に、 $m=\frac{1}{0.28} 3.57$  として計算した値を示した。

以上の實驗によつて Bortsch の發表した計算方法が、實際とよく一致することがわかつた。

圖-46. 垂直断面 0,1 及 2 に於ける水平應力



## 發電水力

## (11) 風力發電に就て

H. Witte; "Über die Wirtschaftlichkeit und Durchführbarkeit von Gross-Windkraftwerken" Elektrotechnische Zeitschrift Heft 51, Dez. 22, 1938. s. 1373~1376,  
Heft 52, Dez. 29 1938. s. 1404~1407  
島山正抄

本文に於ては風力に関する獨逸の研究の結果を紹介する。

## 獨逸に於ける氣流狀態

- (1) 獨逸には數箇の氣流地域があり風の強さは各地域とも大體類似してゐる。
- (2) 風速は高度と共に急速に増大する。
- (3) 地表上平均 80 m 以下の層は地表渦流層と呼ばれ氣流は極めて不規則にして衝撃的渦流や突風を生ずる。
- (4) 400~900 m の上空の風速は平均 9~10 m に達する。突風は生ずるも其の強さは極めて弱い。全くの無風状態は極めて稀である。

以上は航空観測所のアスマン教授、氣象観測所のヘルマン教授等の結論を要約したものである。ヘルマンに依れば地上 80 m 以下の地表渦流層に於ては風は盡間最も強く夜間に最も弱く突然に風向や強さを變へる爲規則的風向や風力を決定することが不可能で尙この層の厚さは地表面が平滑なる時最も薄く凸凹の大なる程厚さが増加する。從つて常識的に考へる如く平地に突出した丘陵の上では比較的低い風車でも氣流の一様な層に達するであらうと云ふ、想像は誤である。凸凹のある地面上では空気が渦流を生ずる爲風力發電には全く不適當で反つて廣々とした平野に於て最も低い風車に依つて風向や風力の突然變異を生ぜざる空氣層に達することが出来る。

又上空に於ては風の強さは地表渦流層と反対に夜間最も弱く夜間に最も強い。

## 風力發電の經濟性

風速  $v^m/s$  風車の直徑  $D$  とすれば風車に向ふ風の 1 秒時間になす仕事の量は

$$\left[ \frac{1}{2} \times (\text{単位體積の空気の質量} \times \text{風速}) \times \text{風速}^2 \times \text{面積} \right]$$

$$\text{kg} \cdot \text{m}^2/\text{s}^2(1/\text{s}) = \frac{1}{2} \times 1.293 \times v^3 \times \frac{\pi D^2}{4}$$

$$\text{kg} \cdot \text{m}^2/\text{s}^2 1/\text{s} (=W)$$

この約 60% を理論的に利用し得るものとし更に風車

の構造、動力傳達装置及發電機の損失を差引いた合成能率 65% とすれば  $v=20 \text{ m/s}$   $D=160 \text{ m}$  の場合

$$\left( \frac{1}{2} \times 1.293 \times 20^3 \times \frac{\pi}{4} \times 160^2 \right) \times 0.6 \times 0.65$$

$$= 41000000 \text{ W} = 41000 \text{ kW}$$

種々の風車風速の場合の出力を計算すれば次表の如し。

表-4.

風速 (m/s)	風車翼直徑 (m)					
	20	40	50	100	120	160
2	0.64	2.56	4	16	23.2	40.8
4	5.12	20.5	32	128	186	326
6	17.28	70	108	432	626	1100
8	41	164	256	1024	1485	2610
10	80	320	500	2000	2900	5100
12	138	550	864	3456	5010	8800
15	270	1080	1685	6740	9770	17185
20	640	2560	4000	16000	23200	41000

本表に依つて見るに 4 m/s 以上の微風で得られる出力は殆ど問題にならない。然るに 15 m/s 程度の風に直徑 160 m の風車を利用すれば 17185 kW の出力が得られる。この場合軸方向の壓力も相當大となることを覺悟せねばならない。

更にある速度の風の起る頻度を調査すれば發電々力量を計算し得る。風の頻度に關してはベック氏の表がある。これふ使用して次に 2 つの例をとり計算して見る。

## 第 1 例 高 100 m, 直徑 50 m の風車

出力 2000 kW の設備

時間	出力 (kW)	發電々力量 (kWh)
1300	0	0
5000	8760 時間	21.4
2460		750000 kWh

210~975

設備の利用率は 4.3% (年利用時間 375 時間) となる。

## 第 2 例 高 500 m, 直徑 160 m の風車

出力 20000 kW の設備

この時は發電々力量 =  $49.4 \times 10^6 \text{ kWh}$  となり 年利用率 28.4% (年利用時間 2500 時間) となる。

以上の 2 例より風力發電は極めて大規模にして且つ上空の定常な相当強い風力を利用する場合にのみ經濟性が認められる。

## 發電原價

風力發電はその性質上發電時間が不定である爲に確

溉揚水等に利用するか大電力系統に接続して低負荷用として他の發電設備と綜合運轉を行ふことを要する。風力發電所の建設費を計算した實例に依れば60 000kWで1800萬マルクとなり1kWh當り300マルクに當る。第1例では1kWh當り約6プロヘニッヒ、第2例では0.96プロヘニッヒの見當となり後者は火力發電より安くなる。

#### 風力發電設備の構造

鐵構に依つて高塔を作る事は必ずしも不可能のことではない。塔の振動に就いては風に周期的の強弱がないなら大したことは無いであらうし霜や氷の附着もそれ程害にはならない。最も困難な點は巨大な可動部と固定部との連結方法である。風車の軸受を如何にするか發電機の取付を如何にするか加速度の防止、暴風雨時の對策如何等從來經驗の無い幾多の難點がある。發電機に就いては充分な研究がない。尙周波数の一定せる電力を得るにも相當な困難がある。

然し乍ら何れも絶対不可能ではない。新しい試みの實現に邁進するならば必ずや成果を期待し得るであらう。

## 堰 堤

### (12) 基礎破壊による Fort Peck Dam 大滑動

(Large Slide in Fort Peck Dam caused by Foundation Failure. E. N. R., May 11, 1939. p. 55~58.  
廣田一郎抄)

1938年9月22日Fort Peck Damの上流側堤防に生じた大地震に關して土木技術者及地質學者の調査委員會は此の原因としてダムがのつて居る谷の下層にある頁岩の抗剪力不足を擧げて居る。4月27日付本紙44頁に簡単に紹介した様に委員會は破壊部分の断面は上流側の勾配を今より緩くし他の部分は上流側に廣い高い犬走りを付け加へて此のダムを再建する様に勧告して居る。以下Thaddeus Merriman氏の報告書と共に委員會の報告書の概要を述べる。

Merriman氏は一般的の見解は委員會と同じきも特に靜物學的な揚圧力の作用を強調し滑動面とダム取付部分から更に多くの土壤を除去する様に要請してゐる。

W. J. Mead教授は委員會の報告書並にMerriman氏の説に賛成し、此のダムは餘り經濟的の價値が無いから其の包藏する破壊の危険の無き様に保證しても無意味なりとの意見を抱いて居る。

#### 沈下の地盤促進

Fort Peck Damは土堰堤で高さ220ft、長さ9000ft上流側勾配は4割下流側勾配は8割である。此のダムはMontana州の北東部Glasgowの南西20哩Fort Peckの遺跡にあたる所でMissouri河の谷を横断して居る。容積約19500000エーカー呎の貯水池を形成してSioux Cityから河口迄の航行を低水流量増加によつて改良し洪水防禦、灌漑及水力に利用せんとするものである(詳細の計畫に就いてはE. N. R., Aug. 29-1935. p. 279参照)。

1933年以來建設が進められて居たので地盤が起つた時はダムの本體は殆んど完成に近かつた。ダムサイトに於ける渓谷は80ft乃至100ft下層にある頁岩即ち硬粘土上に主として砂と粘土よりなる氷河と河川の堆積物で廣く平くなつて居り河の両岸は300ft乃至350ftの絶壁が峙立して居る。ダム築造の材料は水綿法によりダムサイト上下流の谷底からボンプで吸ひ上げた。ダムの東部及西部は最初に着手し150ftの高さに作つた。而して東側の山腹に打ちぬいた4本の隧道で排水して後、河の凹陥を横断する中間部分のダムをこれと同じ高になす計畫であつた。之の作業は1937年の終頃から始めて遂にダムの全延長を150ftに築きあげた。

9月22日には天端上で130ft以内に仕事が進み夫に應じて心壁の溜池も土留堤防も狹ばまつて居た。11月中旬迄に水綿作業を完成し浚渫を打ち切る豫定で全能力を傾倒して作業を續けて居たのである。

4組の浚渫機が1日200000yd<sup>3</sup>の土量をダムの中へポンプで注ぎ込み、ダムと心壁溜池は2ヶ月で約30ft高められた。貯水池には深さ約65ftの水が湛へられてあつた。尤も2ヶ月以前は更に19ftも深かつたのである。

9月22日の朝、監督が上流側堤防の天端餘裕高が心壁溜池上より測つて不充分であるとの報を齎した。即ち測量により堤防上に置いてある浚渫のパイプが規定高より後2ft低い事が判明した。

此の結果が午前11時45分に報告され協議會を此の事態究明の爲最大沈下を生じた地點に午後1時15分を期して開催する事になつた。地上は丁度委員が集つて來た時に起つたのである。

當時心壁溜池は標高2252ftであり貯水池水面は2117.5ftであつた。採石場から岩石を運ぶ2條の軌條と1本の道路が標高2212ftの上流側犬走りに沿ふて配置され、碎石積堤防が此の犬走りに接してあつた。

一隻のポンプ船炭水船及噴射船が心壁溜池中の東側ダム取付部附近に居り2臺のドラグラインが側點17+50附近の上流側堤防天端で作業して居た。即ち約180人の人達が地にり區域内及其の附近に作業中だったものである。

地にりの前日迄は重い岩石を運搬する列車の通過に依つて生ずる規則的な沈下現象以外軌條の變動は認められなかつた。且ダムは心壁も堤防も東側取付附近に於て何等の異常もなかつた。此處の心壁溜池は最小幅に保たれ頁岩の取付部から溜池への滑り出しは浚渫の流入量に依る法表面の亂と第1水門軸の西の背を損めてある頁岩の小移動以外には認められなかつたのである。

地にりの始めから終りまでの時間は約10分と見積られて居る。總計5217000yd<sup>3</sup>が貯水池中に滑り出し滑動の最大距離は約1200ftであつた(測点100から27の間)。上流側の上皮の土は延長1700ftに亘り一部を破壊された。地にり區域内に作業中の人が内34名が土と共に運び去られその内8名が生命を失つた。

地にり區間の上流側上皮は殆んど一體となめて滑り出

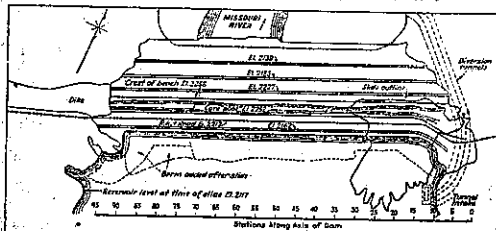
圖-47. 地にり直後の Fort Peck Dam の航空寫真

貯水池の水深は65ftに達し地にり物質の低い部分は見えぬ。破壊面より最も遠方の水上に見える大塊はにり出した上流面の断面でありダムの殆んど水際近くまで覆ふて居る重い石の捨石工を未だに見せてゐる



圖-48. Fort Peck Dam 平面圖

図は地にり前のダムの状況及び破壊状態の大要を示す



したので滑動停止後に見ると東側取付部の軸を大體中心として堆積物は扇状になつて居る(圖-47,48 参照)。

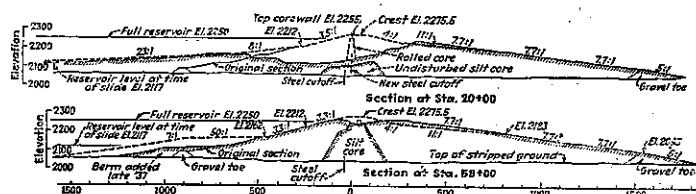
上流面の大部分は殆んど水平になつたが碎石で平均に被はれたので堤防は殆んど撹亂されなかつた。

凡ゆる適切な資料を慎重討究せる結果委員會は此の結論に達した。右側取付部に近いダム上流部に於ける地にりは基礎に當る風化せる頁岩の剪断抵抗力の不足に基くものである。地にりが上流面に進行した擴りは或る程度迄滑り出した物質の液化現象によるものである。

地にり部分の再建に対する委員會の勧告は次の如くである。不透性の氷河漂礫土を輾壓し底部50ft, 天端

圖-49. ダムの新舊断面圖

太い點線は再施工面を示す



15ftの狭い心壁を作り水締或ひは輾壓の堤防でかこむ(圖-49の測点20の断面参照)。此の堤防は上流側勾配が天端で3.5割、底部で2.8割となすべし。

再建する断面の上皮は水締法によるも輾壓法によるも可であり、心壁の最小幅は標高2255ftの處で15ft、標高2120ftの處では50ftとし左側取付部から不透性氷河漂礫土を輾壓して造るを良しとする。

委員會は地方技師の提案せる舊心壁と新心壁を鋼矢板を一列に打つて連結する計畫に賛成し此の案を採用する様に努めて居る。又静水壓を測定する爲兩側取付部の頁岩中にピエゾメーターのパイプを設置する案にも賛同し、更に進んでピエゾメーターで測定せる結果排水を必要とする地點には排水井戸を設置する案をも賛成してゐる。但し試験孔は透水性材料を以て埋戻す様に勧告してゐる。

委員會は分解性頁岩を東側取付部より剥ぎ取ると云ふ問題を詳細に研究し地方技師の行へる剪断試験及安定試験を慎重吟味せる結果再建部分の継勾配は分解性頁岩中に剪断應力を生ずるが其の強度は極めて小さく充分な安全率を持つて居るから分解性頁岩を除去する必要は無いと信じて居る。東側取付部の頁岩中の断層にセメント注入をなす事の可否をも考慮したのであるが當事者の一層の研究を希望して居る。

地にりの影響が無かつた部分のダムに對して委員會

は上流側大走りの増大補強を勧告してゐる(圖-49の測點58に於ける横断面参照)。其の使用材料は勿論現在のダムの上皮を形成して居るものと同質なるか或ひは粗なるを要し而して搾き固める必要がある。

ダム上流側勾配を水綿法に依り作る場合は築造材料を水で送る遮げとならぬ限りトラクターを極度に現場に用ひ出来る丈固く締めるのが望ましく此れ以上固め得ないと云ふ程度迄續行すべきである。

ダムの現在の天端(標高2250ft)上の盛土は輶壓により完成される筈である。ダムの西側終端から西方に延びて居る延長11000ftの堤防は現在の工法で充分と考へらる。

山腹の滑出しを安全に防止し新らしい法で阻れた排水隧道の取水口の前部呑口を閉づる爲に排水隧道の入口附近で二三山腹の勾配を變へる事及小規模の構造改変を提案してゐる。

#### Merriman 氏の貯水池面を低下する案

別の報告書で Thaddeus Merriman 氏は青色硬頁岩の上層をなす風化頁岩の弱い部分に生ずる特別の應力風化頁岩の上部に形成された粘土層の滑動性及風化層の間隙と割目に於ける静水圧學を述べて居る。氏は前記委員會の報告書よりも更に大規模な再建方法を勧告して居る。即ち敷地内にある風化頁岩は兩側取付部及び地に亘り區域から全部取り除く様に望んでゐるが、併し標高2100ft以下では此の惡質材料を除去するのが困難なる爲ダムの餘水吐を50ft丈低くする。從つて其れ丈貯水池面を低下する事を奨励してゐる。

地に亘り先立つ60日間に於ける心壁溜池と貯水池水面の差は83ftから134ftに變化してゐる。分解し軟化せる頁岩に平らに接いだ爲此の水壓の大部分は心壁溜池からの排水が心壁と上皮土の間隙を通過する際に頁岩に傳つた。此の壓力はダムの上流側部分で揚圧力として作用した爲法尻の有效重量を輕減し遂に其の上の法を維持する事が出來なくなつた。

破壊は斯くて始つたのである。即ち測點8附近の法尻とU8の區域が外側に向つて滑かになつた分解性頁岩の上を動き出した。破壊の主原因はダムの下部にある分解性頁岩による事は明白である。即ち之が水壓を傳達した事及滑り易かつたが爲である。

他の總べての材料は良く處理されて居り心壁も其れ自體としては優秀なものであつた。上皮となる材料も非常に良く施工されて居り強固で最も悪い條件下に於てさへ可成の固定性を示してゐた。凍結せしめて採取せるコアは此の材料の安定性を強調して居る。青色の

風化せぬ頁岩は何等の運動も示して居らぬ之に反して谷を埋めて居る風化された頁岩上の諸物質は甚だしく歪み攪亂されて居た。其の中で最も良い状態を示したのは砂の多い部分であつた。此の問題を合理的に解決する諸種の計畫案は何れも工事實施の前提條件として全部又は一部風化した頁岩を少くとも標高2100ft以下迄除去せんとするものであつた。

此の除去は完全なものでダムの盛土断面は何處の部分も青色頁岩の上にのり標高2100ft以上ダムの天端面迄接して居らなければならぬ。併し風化せる頁岩を標高2100ft迄除去する事は實際問題として不可能であるから何等かの代案が必要である。著者は從つて溜池面を標高2250ftから2200ftに低下し餘水吐を低くし現在設置されてある水門を除去せんとするものである。斯くすれば主堰堤を現在の高さ迄高める必要は無いであらう。

#### (13) Mississippi 下流に於ける最初の洪水調節堰堤

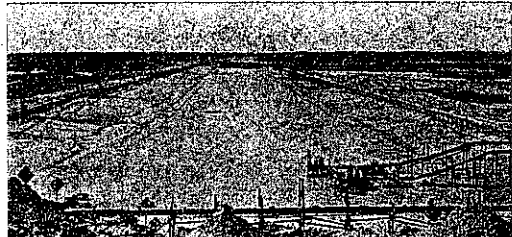
(First Mississippi Flood-Control Dam. E.N.R., March 16, 1939, vol. 122 p. 38~41.)  
横田周平抄

Sardis 堤は Mississippi 下流の新洪水調節計畫の最初のものであつて米國に於ては Fort Peck 堤、Kingsley 堤に次で大きな水綿土堰堤であるが、規模の大きさよりは寧ろ工事の目的に興味がある。斯くの如き計畫は Mississippi の洪水調節の歴史には初めてのものである。

改訂された Mississippi 河洪水調節計畫に於ては Vicksburg の附近で Mississippi に合流する Yazoo 河の上流各支川に數個の洪水調節池を豫定した。Sardis 堤はその最初に出来たもので支川 Little Tallahatchie 河に在り約 1850 m-km<sup>2</sup> の洪水抑留能力を有してゐる。

圖-50.

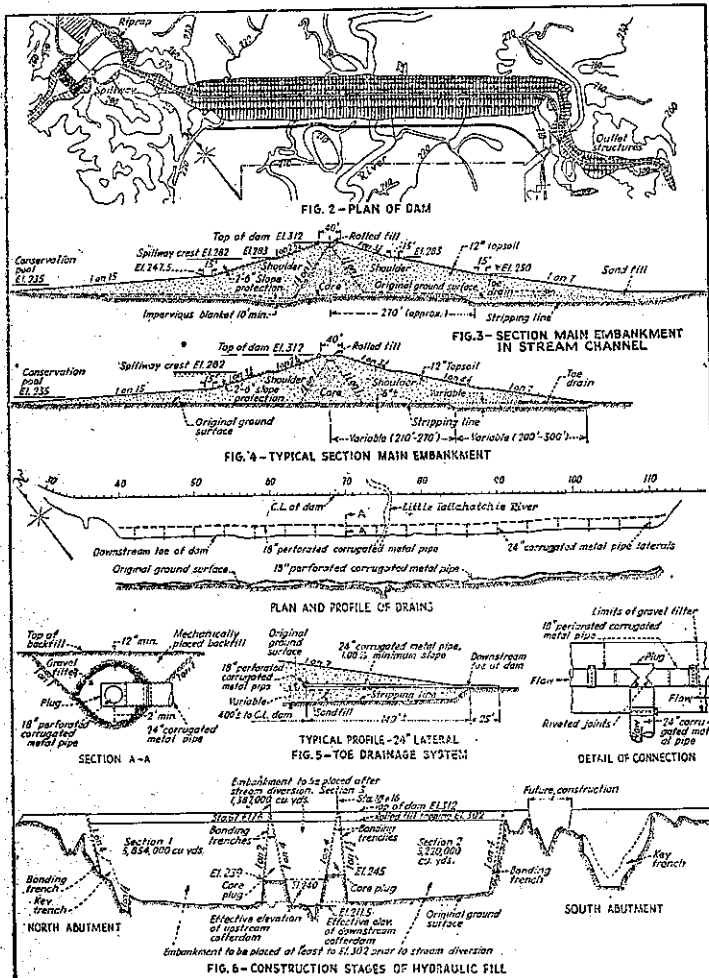
ポンプ駆動船からの放水管が心壁を水綿する為の池を一周してゐる



\*Little Tallahatchie の河谷は未開発の氾濫平原であつて大部分樹木で覆れてゐるが大きな樹木は少い。貯水池は河谷に沿つて延長約 50 km, 面積約 240 km<sup>2</sup>, 全容積 1937 m·km<sup>2</sup> であるが當時 113 m·km<sup>2</sup> を貯水して置く爲調節に使用し得る貯水量は 1823 m·km<sup>2</sup> で全容積の 94% に當る。當時貯水位は約 40 km<sup>2</sup> の地域を浸し、此の水位より 5 呪の高さ迄を伐採し其の他の放棄した。此の貯水池有效貯水量は該地點に於ける既往最大洪水を完全に調節し得る。

堰堤 主要工事は堰堤であつて全土量 12 820 000m<sup>3</sup>, その内 10 550 000m<sup>3</sup> は水締である。堰堤延長は取付部を含めて全長 4 440 m である。河床よりの最大高さは 117 呪であつて天端高は Mexico 港中等潮位上 312 呪である。堰堤の平面及断面は図-51 上の如くであ

図-51.



る。原河床の部分は断面を大きくし不透水性の材料を敷均した。上流側法面保護に特色があり、此の爲に 75 300 m<sup>3</sup> の砂利と 390 000 t の石材を使用した。下流法先の排水溝と法内に設置した有孔排水管も特徴の一つである。排水管の敷設方式は図-51 中程に示す如くである。心壁の水締は天端より 10 呪低い處迄打切り其れより上の楔形部分は輥壓した。

貯水池の正規の流出孔は堰堤の南端に在り調節し得る様になつてゐる。取付水路の兩岸が輥壓せる盛土である事が注目される。洪水は堰堤の北端を廻る溢水路に溢流する。

溢流頂は標高 282 呪、幅 400 呪で調節装置は無く非常洪水の時 132 000 個を放水する。放水流量は堰堤の 1 哩下流で本川に入る。

輥壓 輥壓に於ける技術的興味は材料、配置、継り具合の調節に在る。此の點に關しては請負業者は豊富な器材を動員して貢献する處大であつた。輥壓締に於ては材料の配置、継り方が一様でなければならない。土取場は土質試験に依つて指定し又工事中屢々検査した。締める際には土を 6 吋の厚さに敷均し目地に對して成る可く表面を粗にした。各層は適當な含水率で sheepfoot roller を用ひて締固めた。所期の締固程度が得られてゐるか否か試験する爲に屢々針度試験を行つた。

水締 堰堤本體の水締は兩翼及其の中間の 3 区に分けて行はれてゐる。兩翼(図-51, 最下圖 Sect. II 及 Sect. I)を先に施工し流出孔の工事が完成して後中間の Sect. III を締切る。中央の Sect. III の兩側は輥壓した障壁を設け兩翼の心壁を水締する爲の池を作る。図-51 最下圖に一部示される如く障壁は水締の進行に従つて順次高められる。

堰堤材料は砂及沈泥であつて僅かに粘土分を含み堰堤より下流の土取場からカッターポンプ 游漁船で吸上げる。ポンプは 3 000 HP の電力に依るもの 2 台で吸上 27 吋管、放水 24 吋管を用ひた。管路は堰堤の各断面を完全に一周する様に配置し堰堤材料の調節は

心壁の爲の池の周囲の管にシャッターを設けて完全に取行ふ。餘水はポンプ船に依つて締切外に排出する。材料の分布、池の岸の線の調節、心壁の形等最新の工法に従つたが特筆すべき事はなかつた。

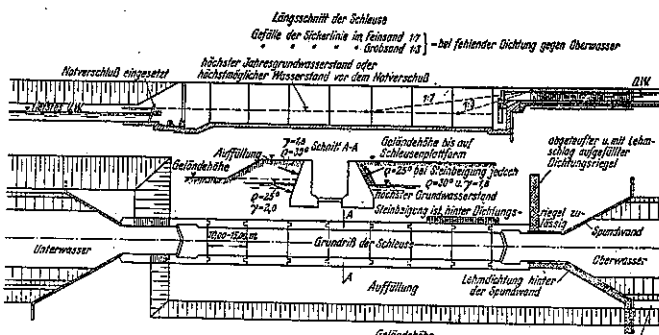
## 港 誌

### (14) 閘室建設に就ての問題

A. Schäfer: "Grundsätzliche Fragen beim Bau von Kammer-Schleusen." Bautechnik, 2 Juni. 1939 Heft 23. s. 317~320.  
福田秀夫抄

(1) 水位 河をせきとめると、その地下水はその堰の水面に迄昇つてくる。それ故閘門を建設すれば水位の上昇することを考へねばならぬ。閘門は一種の堰とも見なすことが出来、その上流と下流の水位をはつきりと分ける。若し地下水が直接上流區に於て上流の水位に迄達する場合を假定するならば、閘門より下流の運河は深い排出口となる。即ち上流から排出された地下水は、その土地の滲透率に應じて下流へと流れこむ。研究によると滲潤線の傾斜即ち地下水の滲透の勾配は土砂が微粒ならば $1:7$ 、粗粒ならば $1:3$ である(圖-52)。

圖-52.



之とは別にすべての堰堤の築造に於て、上流よりの滲透を防ぐ装置を作る。これには河底及河岸に約40cmの厚さの粘土の層をおいたり、更に之を砂利の層で保護したり、矢板を地中に打込んだりする。

故に上流よりの水をうまくとめれば、閘門建設に於て高い水位をとる必要はない。併し修繕のために閘室を空にするならば、閘門の安全の見地より、下流區の起り得べき最高の水位を考へにいれねばならぬ。又地下水の毛管現象により飽和してゐるから、在來地盤以下の裏込土砂の傾斜角を $\rho=25^\circ$ 又比重を $\gamma=2.0$ にとり、在來地盤以上の裏込土砂は、上流區よりの水をよくとめた

時でも $\rho=30^\circ$ 、 $\gamma=1.8$ 迄とすべきである。

(2) コンクリートの引張應力 引張應力としては、1:7のコンクリートで許容圧縮應力が $40\text{ kg/cm}^2$ 位のものには、その $1/20$ をとることが出来る。今日閘門工事に於て一般的に用ひられる火山灰:ポートラントセメント30:70の1:7のコンクリートは、平均 $30\text{ kg/cm}^2$ 位の比較的高い弯曲引張應力を示すから、 $3\text{ kg/cm}^2$ 迄の引張應力を採用出る。時に長20m、高15m位のブロックに、温度變化による收縮のため垂直や水平に龜裂が生ずるが、之は長10m位迄の構造にすることによりきかれる。我々は屢々閘門に於て、多くの龜裂を見、又多孔質のコンク

リートの縫目からは、壓力のある水が噴き出して居るのを見る。

双閘の中間壁の接合の間隔よりに對する測定曲線が圖-53である。

これを求めた公式は:

縫目が持上らぬ時の限界

$$b = h \sqrt{\frac{h}{3\gamma(h+1)}}$$

4邊又は3邊が持上るとすれば

$$b = h \sqrt{\frac{h}{3\gamma(h+1)-2h}}$$

引張應力なきとき

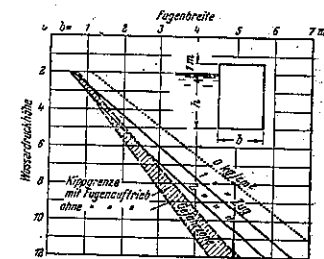
$$b = h \sqrt{\frac{h}{\gamma(h+1)}}$$

引張應力を考ふるとき

$$b = h \sqrt{\frac{h}{\gamma(h+1)+\sigma_3}}$$

今縫目が持上る時を危険區域の限界とすれば、高6mの直角の構造物では、 $2\text{ kg/cm}^2$ の引張應力はもはや許容出來ぬ。一層高い構造物では、安全率を更にとるから、 $2\text{ kg/cm}^2$ より大なる引張應力は考へられぬ。即ち土壓及水壓を受けてゐる構造物では、許容引張應力は問題にならぬ。

(3) 閘室のインパート 圖-54に示す如く、基版の一隅は $b$ より $30^\circ$ に引いた直線の外にはあり得ない。又X-X断面にて基礎地盤に働く力が $\max p$ をこえではならぬ。この $\max p$ はしつかりした河砂利では $4\sim 5\text{ kg/cm}^2$ であり、断面X-Xの引張應力は地盤への壓力



$$\sigma_2 = \frac{pb^2}{2h^2}$$

と同じである。  $p = \sigma_2$   
とすれば、

$$\frac{b}{h} = \sqrt{\frac{1}{3}} = 0.58 \text{ 故に}$$

$$\arctg 0.58 = 30^\circ$$

極端なる場合を考へると

$$\sigma_2 = \frac{p2b^2}{2.3 h^2}$$

$$\sigma_2 = p \frac{b}{h} = \sqrt{\frac{1}{2}} = 0.71$$

$$\arctg 0.71 = 35^\circ$$

同様にして、剪断力  $\max \tau = \frac{3Q}{2h}$   $Q = pb$  又  
 $\max \tau = p$  とすれば、  $\tau = \frac{3pb}{2h}$   $\frac{b}{h} = 0.66$  結局地盤への圧力  $\max p$  は  $4 \sim 5 \text{ kg/cm}^2$  をこえられぬ。

高い擁壁に於ては地盤への圧力を減少するため、基盤を一般には擴げたり、又基礎地盤の載荷力を増加するため、構造物の前面に矢板を打込むことがある。

又圖-55 に於て

開室の X-X 断面で、引張應力を  $5 \text{ kg/cm}^2$  にするために必要な基礎の高さを  $bc$  とすれば、土壓の合力の辺り面のために、基礎を傾斜したり、趾版を用ひて安全を取らねばならぬ。

今底版を開室の中迄入れゝば、構造物の移動は安全となるが、浮力を對してしつかりとするとねばならぬ。この底版を圓弧状と

圖-54.

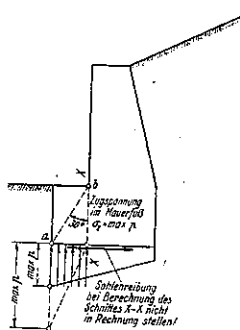


圖-55.

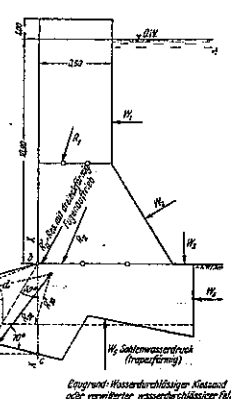
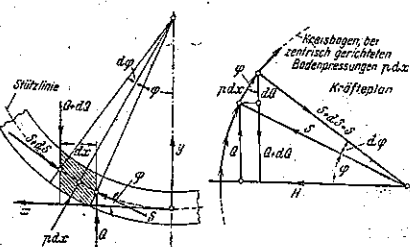


圖-56.



して一定の壓力  $p$  をとるとすれば、底版は如何なる曲線をとるか 圖-56 より

$$S + dS = S \quad \therefore dS = 0$$

$$\text{又 } S d\varphi = pdx$$

底版の曲線が切線力の傾斜  $\varphi$  に等しとすれば、

$$\varphi = \frac{dy}{dx} \quad d\varphi = \frac{d^2y}{dx^2}.$$

これを上の微分方程式にいれて積分すれば

$$\therefore Sy = c_1 + c_2x + p \frac{x^2}{2}$$

故に曲線は拋物線となる。

$$x=0 \quad y=0 \quad \text{にて} \quad \frac{dy}{dx}=0 \quad \text{なら} \quad Sy=p \frac{x^2}{2}$$

$$\text{又 } x=\frac{l}{2} \quad \text{にて} \quad y=f \quad \text{とすれば}$$

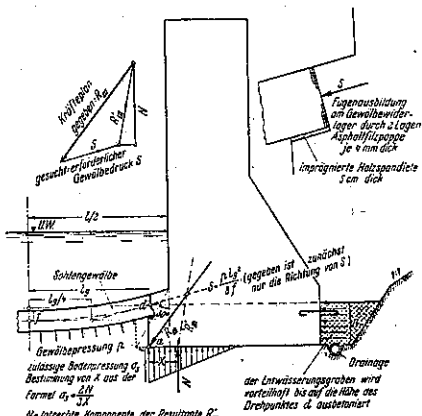
$$S = \frac{pl^2}{8f} \quad \text{又} \quad \tan \varphi = \frac{f}{\frac{l}{4}}$$

$$\text{曲率半径は} \quad \rho = \frac{d^2y}{dx^2} = \frac{S}{\rho} = \frac{l^2}{8f}.$$

圓の公式  $\gamma = \frac{l^2}{8f} + \frac{f}{2}$  と比較すれば、圓よりも一つとずつと平たいものであるし、圓弧を底版の曲線に用ふるより、もつと近いものである。

圖-57 によると全體の合力  $R_{III}$  により  $S$  の方向が與へられる。それ故  $x$  及  $N$  は地盤載荷力  $\sigma_s$  が  $\sigma_s = \frac{2N}{3x}$  の許容應力になる迄變へられねばならぬ。

圖-57.



次に應力圓より新たな合力  $R'_{III}$  を得。故に  $S$  をも得らる。又地盤の應力は膚の單位重量を考へて  $p = \frac{SSf}{g^2}$  故に浮力もわかる。

(4) コンクリートの比 1:10 のコンクリートの厚さ 20 cm の版が 7 m の水壓迄充分水密であつたかと思ふと、充分な座縮應力を示した 1:5 のコンクリートの厚

さ 80 cm の版が 1 m の水圧で滲透したことがある。河水は殆ど多少はコンクリートを浸す。即ち硫酸鹽、炭酸鹽を含むためである。水を滲透するコンクリートに、硫酸鹽や炭酸鹽を含む河水が作用すると、圧縮應力に必要なセメントの餘分の石灰分は流出するし、又常に水が變るために、硫酸鹽と結びついた石灰は石膏等に變化する。即ち 1:8 と 1:10 のコンクリートを使用して、多くの開門工事に當り、上記の如き見解の下に非常に誤った経験を作つた。

かくの如き混合によるとときは、平均の應力  $W_{28}=150 \text{ kg/cm}^2$  に達したが、 $120 \text{ kg/cm}^2$  におちたこともあるし、中心の組織が一定せず、時には  $100 \text{ kg/cm}^2$  より少いこともある。之はこのコンクリートの耐久性が問題になる。火山灰等が溶解性の珪酸と遊離性の石灰を結合するために用ひられる。この火山灰は 30% 追加へられるが、火山灰ポートランドセメントは、普通のポートランドセメントより幾分高い應張力を示す高級セメントと共に用ひられる。

結局結論としては、 $W_{28}=150 \text{ kg/cm}^2$  以上にセメントを入れる必要はなく、むしろセメントの量とその組織をえらぶべきで、水の不滲透性に対するコンクリート試験の結果により、最も完全なる防水性を得られる。即ち水を重量比にて 8~10%，砂を 36~44% 用ひて、河水に對して強いコンクリートを得るやう努むべきで、経験によれば、壓力のかゝつた水が働く構造物にては混合比 1:7 又水圧がないものには 1:9 で充分である。

## 鐵道

### (15) 歐洲最長の電化鐵道完成す

J. Dumas; L'électrification de la ligne de chemin de fer de Paris à Irun (Espagne). Le Génie Civil, 18. Fév. 1939. p. 145~151.  
立花文勝抄

佛國首都パリーよりオルレアン、ツール、アングレム、ボルドーを經て佛西國境の Irun に到る鐵道の電化工事は豫て着々進捗の所、昨年(1938 年) 12 月 19 日アングレム-ボルドー間の電化完成を最後に全線を電化するに到つた。

圖-58 参照。主要區間の電氣運轉開始の年次を擧げると次の如くである。

Paris—Orléans	1926 年
Orléans—Tours	1933 年
Tours—Poitiers	1938 年 6 月 17 日

圖-58.

佛國各營鐵道會社西南區に於ける鐵道電化狀態

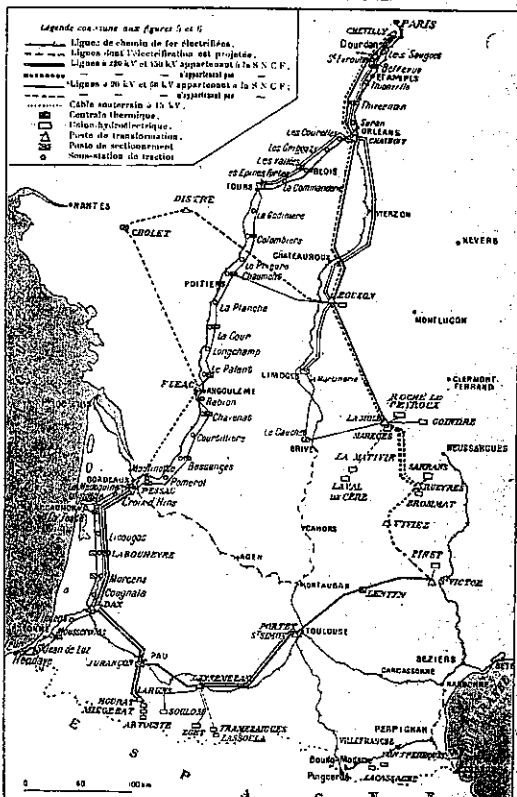


圖-59.

Paris—Irun 電化鐵道に於ける高速運轉用の電氣機関車



Poitiers—Angoulême 1938 年 7 月 5 日

Angoulême—Bordeaux 1938 年 12 月 19 日

Bordeaux—Dax 1927 年

Dax—Hendaye 1926 年

Hendaye—Irun 1929 年

Paris—Irun 間の路程延長は 824 km、歐洲に於ける最長の電化鐵道である。圖-59 は同鐵道に於ける高

速運転用の電気機関車で、その性能は 4000 馬力、最高時速 150 km/h と云はれてゐる。圖-60 は Bordeaux-Irun 間の電化状態を示すもので、架空線柱が弧状をなし、上部には送電線をキヤリードしてゐるのが面白い。圖-61 は Orléans-Bordeaux 間の電化状態を示すものである。架空線の電圧は 1500 ボルトである。

#### 佛國に於ける鐵道電化

世界大戰前 フランスの鐵道に於ける電化區間は寥々たるもので、パリー・オルレアン鐵道 (le réseau d'Orléans) に 22 km、南部鐵道 (le réseau du Midi) に 169 km、其の他を入れて合計延長 243 km に過ぎなかつた。しかしこの状態は世界大戰により一變した。といふのは佛國に於ける石炭の年産は 50 000 000 トンなるにも拘らず、年消費量は 70 000 000 トンに達し 20 000 000 トンは輸入に仰がなくてはならない。

而もこの 20 000 000 トンの中、佛國鐵道で消費されるものは可成り多く、その大部分は蒸氣機関車用石炭として消費されるのである。從つて大戰當時石炭の價格が極度に高騰し、各鐵道は非常な苦難を嘗める事となつたのである。この對策として 1917 年以來 佛國政府は特に列車運轉に對する重要水利資源の獲得に専念した。1919 年政府の招請により各鐵道は合計 9 000 km に亘る鐵道電化計畫を提案した。この中 2 540 km はパリー・オルレアン鐵道、3 150 km は南部鐵道に於けるものである。こゝに於て電化様式を統一するの必要を生じ、その結果として佛國政府は技術家を網羅する特殊の委員會を任命した。この委員會は歐洲及米國に於て行はれつゝある諸種のシステムを深く研究の結果架空線電圧を 1 500 ボルトとする等種々の決定をなし、こ

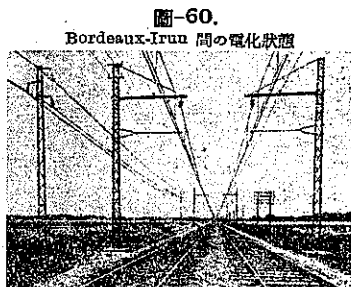


圖-60.  
Bordeaux-Irun 間の電化状態

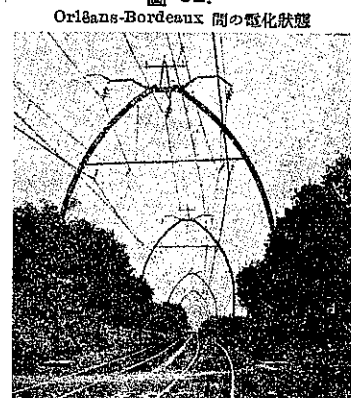


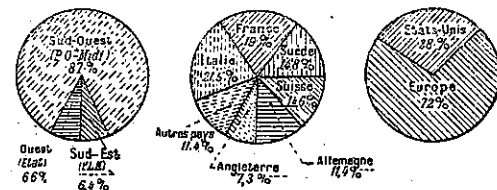
圖-61.  
Orléans-Bordeaux 間の電化状態

れ等の決定事項は 1920 年 8 月 29 日附の官報により公告されてゐる。同時に上記の 9 000 km 電化計畫も餘り大した修正も施されずに公告された。この計畫に基き現在迄に電化されたものは 3 112 km の延長に昇つてゐる。この中 978 km はパリー・オルレアン鐵道、1 696 km は南部鐵道の區間である。之に大戰前の電化區間延長 243 km を加へると現在佛國に於ける鐵道電化區間の總延長は 3 355 km となる。この中オルレアン鐵道の電化區間が 1 000 km (即ち同鐵道全線延長の 14%)、南部鐵道の電化區間が 1 865 km (即ち同鐵道全線延長の 43%) といふ勘定であるが、線路延長でなく輸送量の方から云ふと、電化區間の輸送量は全區間の輸送量に對しオルレアン鐵道にあつては 35%、南部鐵道にあつて 70% の多きに達してゐる。又オルレアン鐵道と南部鐵道を併せて考へて見る時は、兩鐵道總輸送量の 50% は電化區間に於て運ばれてゐるのである。9 000 km 電化計畫に從つて電化された 3 112 km のお蔭で節約出來た石炭は年 1 500 000 トンの割合となつてゐる。

佛國鐵道の改組 (譯註参照) により、1938 年 1 月 1 日よりオルレアン鐵道及南部鐵道は「佛國々營鐵道會社西南區」(La Région Sud-Ouest de la Société nationale des chemins de fer français) に屬する事になつてゐるが、この管理體形から云ふと電化區間 2 865 km は全線の 25%、佛國に於ける電化鐵道全區間の 87% に當つてゐる。現在佛國鐵道に於ける鐵道電化狀態を示せば圖-62 (左側) の如くである。又歐洲に於ける電化鐵道延長は 18 500 km で佛國はその 19% を占め、伊太利の 21.5% に次いでゐる。(圖-62 (中央) 參照)。圖-62 (右側) は世界に於ける鐵道電化の割合を示すものである。

圖-62.

佛國、歐洲及世界に於ける鐵道電化の割合



譯註 佛國鐵道の改組とは、1937 年 8 月 31 日シヨーテン内閣が財政再建のため政府に與へられた緊急命令發布権に基いて断行した鐵道管理組織の改組を謂ふのである。從來佛國には七大鐵道があり、その中國有である二鐵道を除けばすべて國家の免許 (Concession)

を得て事業を經營する株式會社であつたのであるが、この緊急命令によつて 1938 年 1 月 1 日より「佛國々營鐵道會社」(la Société nationale des chemins de fer français 略稱 S.N.C.F.) と稱する國策會社が佛國の全鐵道網を統治經營することになつた。將來この會社の一切の資產は國家の所有に移り、1983 年より鐵道の國有化が實現する事となつてゐる。

### (16) San Francisco-Oakland 橋梁の ■ 信號及聯動裝置

(“San Francisco-Oakland Bay Bridge Signaling and Inter-locking,” Railway Signaling, March 1939.)

平川明之抄

延長 4.5 哩の新 San Francisco-Oakland 橋上の 2 本の鐵道線路と結びついて設備された車内信號と自動列車制御裝置及 San Francisco 及 Oakland の NX 聯動裝置とは列車記述法と共に一つの重要な信號計畫を構成してゐる。

橋の上部デッキは 6 本の乗用自動車線で一方下部デッキはトラックとバス用の 3 線及 2 本の Interurban 電車線となつて居り、旅客列車を橋梁上に通す設備は何ら施されない。

東部の驛々間を往來する Southern Pacific 及 Western Pacific の主本線列車は以前の様に Oakland 突堤で終つて居り、そして乗客や小荷物、郵便、速達物等は San Francisco との間を渡船によつて往來されて居る。

#### Oakland 及橋梁上の線路

橋梁の Oakland 端では橋梁線路から兩鐵道の上下線へ勾配上で交叉無しに接続させるのみならず各線の列車が他の列車の運動を妨害する事無く車輛を捨てたり仕立たりする事の出来る操車場を準備する爲に現在の Key System の配線は大規模に作り直された(圖-63)。

新連絡線は Interurban Electric の線路と連絡するやうに建造された。Oakland 突堤上軌道配線は數多くの直線や操車場連絡線等約 2 哩の長さに達して居る(圖-64)。この配線では單轉轍器 14、直線 11、信號 62 が又 G.R.S.C. の NX 聯動裝置によつて制御されて居る。制御裝置は操車場の中央に近い信號所の中に置かれてある。

橋梁を最初計画した時、朝には西方へ、夕方には東方

圖-63. San Francisco に於ける聯動裝置圖

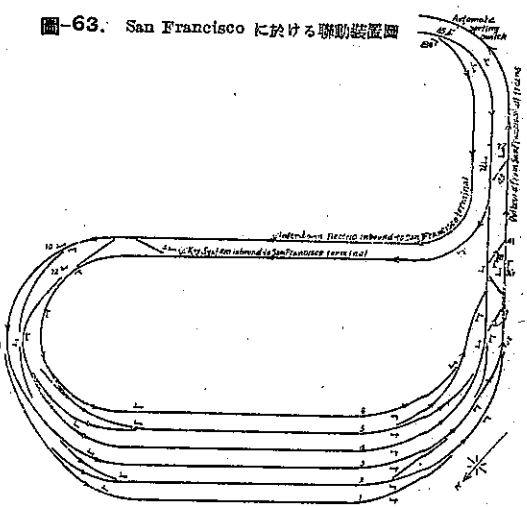
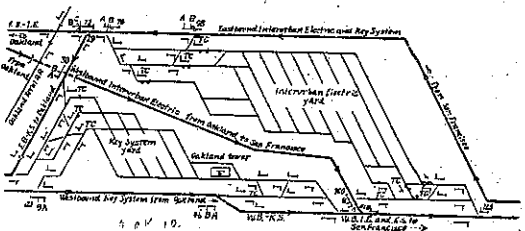


圖-64. Oakland に於ける聯動計畫



へ流れる最高の交通量を處理する爲めには、3 線準備する必要があるだらうと云ふ事が考へられた。然しあな間隔で而も安全に列車を取扱ふ信號や列車制御裝置が工夫されたから唯 2 線だけ準備して第 3 線をトラック用に使ふと言ふ最後の計畫が採用された。各線は一方だけの列車運轉に對しては車内信號を受ける。反対運動は特定の制御の下に爲される。

全部で 520 本の列車が各週日 San Francisco 端終驛に出入り、Key System 結合列車の各 1 台には 134 人の座席があり Interurban Electric car の各 1 台には 116 人の座席がある。そして各郊外列車は 1 車乃至 10 車で編成して居るか或は 2 輛連結車の 1 組乃至 7 組で編成して居る。

San Francisco を往來して一方向に 20 分毎に運ばれる 1700 人の座席を準備するには、10 車或は 7 組編成の列車 16 本を 75 秒 headway で運轉する事が必要である。

交通量の不規則と増加を許すためには信號設計の仕様書に依れば長さ 780 呪 10 車連結列車を 63.5 秒 headway で而も走行料 35 で容易に運轉する必要がある。

### 列車制御装置と車内信号が使用された理由

San Francisco-Oakland 計画で使用され發達した此の方法の顯著な利益を具體化する爲めに、以前幾分が之に似た問題の解決の爲め設備された方法に就いて、簡単に考察して見る。

New York の地下鐵では列車の運轉は機械挺子を持つ路傍信號に依つて制御される。其れは運轉手が停止信號を通過すれば危急に制動を掛けべく先導車の挺子を引く。この system は列車の後には常に停止を示す 2 本の信號がある。それは後續列車が若し最初の停止信號で自動的に制動が掛けられるならば、閉塞區間の入口に達する以前に充分な制動距離を持たず爲めである。

尙其の上に之の system では、停止距離は列車が各區間に於て達し得る最高速度を始末するのに充分である事を要し、實際には地下鐵の運轉手は先行列車の後二番目の閉塞區間に制動を掛け出會つた第一の停止信號で列車を止める。首換れば常に重複した一つの閉塞區間がある。橋梁上の運轉をも網羅した速度 1 時間 1 距離。曲線の研究の結果は、路傍信號と trip arm type の system では、列車の明細な headway を得る事は不可能である事が解つた。

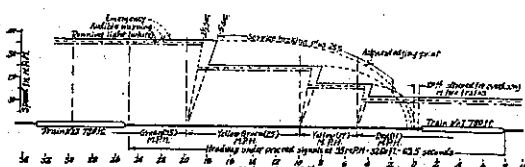
此の事は非常に接近して置かれた信號の場合でも、又下り勾配で信號の wayside time element control に於てもそうで、headway 決定は、下り勾配で速度 35 m/h の列車の安全な運轉に對して、所要の重複長に依つて左右される。

路傍信號よりも寧ろ車内信號を採用するに至つたのは非常に屢々起る濃い霧の爲めである。

所要の headway を得る爲めに continuous cab signal は制動機と速度制御機が設備され、此の裝置では運轉手は、列車が若し特定の速度を超へて特定の閉塞區間に近づいた時には制動を掛けねばならない。それで重複區間の使用を除く事が出来る。

斯くして下り勾配で所要の headway を得る事が出来る。同時に車内にある速度整調機は先行列車からの距離に依つて圖-65 に示すやうに、列車速度の連續的

圖-65. 下り勾配に於ける閉塞區間の配置と速度曲線



な制御を許す。

圖-65 に於て red (11) 閉塞區間には、勿論一つ或はもつと澤山の軌道回路から成立つて居るが、何らの信號なく其處に道入り込む列車は “red 11” 制限を受けれる。同様に yellow 17 區間では圖の方向に道入つて来る列車は 1 分間に 75 断續の符號電流を受ける。“yellow green 25” 區間では受ける符號は 1 分に 120 となる。“yellow green 25” の背後、開通區間では圖の方法に運轉する列車は 1 分間 180 断續の符號電流を受け、車内信號機や速度制御機には “green 35” なる記號を受ける。

この裝置に使用された符號列車制御法の特徴に就ては G.R.S.C. の報告 171 號に説明してある。先づ第一に San Francisco-Oakland 計画の軌道能力に於て所定の結果を得んが爲めに如何にして車内信號と列車制御裝置が使はれるかを説明する。

### 車内信號と列車制御裝置の車内設備

運轉手の列車制御裝置は、制御されない附隨車は除き、各車の終端に備へられ、又連結車及各車の終端には倣車間に取付けられた速度測定器や自動制動制御等が設けられてある。此の裝置は key system 連結車 88 輛に Interurban Electric Car 110 輹 Sacramento Northern 17 輹に備へられた。cab signal は幅  $4\frac{1}{4}$ " 高さ 22" の金屬箱から成立つて居る。それには 4 個の四角なレンズと 2 個の圓レンズと合計 6 つの表示ランプがある。

トップレンズは旗を表はし “35” なる文字がレンズの上に書かれてあり、次のランプは半分緑色半分黃色で “25” と記されている。三番目は黃色で “1”、四番目は赤で “11” と記されている。各記號は列車の最大速度を示すものであり、その表示に従つて列車は運轉される。

路傍自動信號は何ら使用されず、“red 11” の状態では列車は他の列車又は障礙物の近くで止り得る速度で進行する様になつて居る。

停止及制御表示を列車に與へねばならない場所は注意を要するから、聯動裝置の所では路傍信號が使はれる。交通量の正當方向に於ける cab signal と train control とは實際には橋梁軌道上と同様に聯動關係になつて居る。

下から二番目の白レンズで記號のない車内信號燈は列車が全速力で走つてゐるか、或は許容最大速度以上にある時燈りがつく。若しも制限速度以上 1 倍に上ると車内信號の上部に入れてあるベルが key system で

は鳴り Interurban Electric Car では汽笛が鳴る。

運転手が此の警告を受けると、彼は列車の速度を最大許容速度迄遅減する操作をとらねばならない。若しかかる操作をせねば速度は増加し續け制動が自動的に適用され動力は断たれる。

今迄の車内信號の状態が他の特定のものに變るや否や可聽表示が與へられ、それから運転手が動力を止めて制動を開始するのに  $2\frac{1}{2}$  秒かかる。勿論若し速度制限以下で走つてゐるならば何ら可聽表示は與へられず、運転手は少しも操作しなくてよい。

若し “red 11” を受けると、附加特殊信號が合図され運転手は承認挺子を、それから後  $2\frac{1}{2}$  秒以内或は全配給の位置から制動挺子を動かす以前に壓す必要がある。

此の方法の特徴は制動挺子の動作がコンタクトに依つて check されることで、それは挺子が全配給の位置にある時だけ閉ざる。此のコンタクトは實際は危急適用に先んずる回路に含まれる。

非常の場合に制動が自動的に適用される時には列車は制動が解除され得る前に止らなければならぬ。若しも列車が列車制御車内信號区域を走り過ぎた時には、車内信號ランプは消えて “NS” (no. signal) と記された底部紫色ランプが點燈される。速度制限装置は列車が無信號区域を通過すると同時に自動的に断たれ、進入すると同時に自動的に働く。

#### 制動距離の變化

Berkeley の California 大學でフットボール、ゲームが行はれる日には、San Francisco を出發する列車は座席も吊革も全部占領される。それ故に制動距離は此の最大荷重を基礎として計算された。

Oakland 突堤上の線路の勾配は殆んど水平であるが實際には橋梁上の線路は全部勾配が附いて居る。

Oakland 駆動装置の西端を出發して線路は東海峽上の cantilever span 中央の縦曲線迄  $2.74\%$  の勾配で西へ上つて居る。此の點から勾配は Yerba Buena 島のトンネル迄  $2.5\%$  で下り、それから 2 つの suspension bridge の center anchorage の縦曲線迄約  $3\%$  で上つて居る。それから西の anchorage に約  $3\%$  で下りそしてそれは軽い上り勾配 ( $0.5\%$ ) の San Francisco 構内線迄下り勾配で高架線上を續いてゐる。

滿載列車は  $20 \text{ km/h}$  少しの平均速度で  $3\%$  上り勾配を運転し水平或は下り勾配に差しかつた時は  $35 \text{ km/h}$  を越えない走行速度に保たねばならぬ。

軌道回路の長さ、位置、橋梁軌道全體に亘る速度區域制御を決定する爲に、この軌道の全區間に於ける滿載列車の運轉を表示する速度 1 時間 1 距離曲線が用意された。此の曲線と最大速度に對しては  $63.5$  秒の headway が必要であると云ふ根據から出發して、軌道回路の位置及區域制御が計畫された。それに依れば列車間は常に  $25\%$  の餘裕を以つて制動距離が用意されねばならぬ。 $3\%$  上り勾配では軌道回路の長さは約  $370$  呎になり、 $2.74$  及  $3\%$  の下り勾配では（速度制限  $35 \text{ km/h}$ ）軌道回路は凡そ  $500$  呎である。

西行列車が  $3\%$  勾配を下る時、曲線の影響で速度を落す橋梁西端近くでは、軌道回路は約  $250$  呎で、橋梁上の軌道だけに就いて考へるならば、駆動装置の間には東方の軌道に  $67$  回路があり、西部に  $64$  回路がある。

此の System の明かな特徴は或る一つの軌道回路に列車が進入ると、其の後に 3 つの連續速度區域の位置及長さが決る事である。或る速度區域出發端の位置は先行列車の軌道回路の後方にあつて次の列車の運転手が制動を掛け列車の速度を減じ、充分安全に列車を止め得るだけの餘裕がある。かくて列車が進行するや、後方三速度區域には制御が設けられ、その區域は長さが遠ぶか或は 3 つの區域の全長は軌道が上り勾配か下り勾配かに依つて變る。實際此の長さは列車の後方  $250\sim500$  呎の間である。

#### 橋梁上の非常直線

非常の場合に備へる爲めに、2 本の主本線間に兩交又直線が橋梁上 5 間所に設けられた。小型 2 位色盤式信號（轉轍器標識）が各直線の進路に置かれ、之等の信號は通常は緑色を示すが、若し 4 つの轉轍器の中どれか  $4/1$  以上の開きが出来ると信號は赤を現示し、接近せる列車は減速車内信號を受け、自働速度制限を受ける。

#### Oakland の配線

Oakland 出入口の駆動装置は San Francisco の其れより大規模で多くの轉轍器、直線、信號を含んで居る。然し混雜の時期には西行列車も東行列車も車輛を拾上げる爲めに止らず、列車は交通量の多い方向に最大速度で通過する。この爲操作問題は直線 41 號轉轍器 29 號及此等の運動を制御する信號の操作に局限される。朝には西方向交通の混雜次第に減ずる一方、東方向列車は車輛を仕立て出し、同様に夕方には東方向交通の Oakland を通つて増加する一方、西行列車は車輛を拾ひ上げる。

かくて Oakland の信號扱者は急速に引續いて之等の作業を取扱はねばならない。

列車記述法

San Francisco を出発する時 Interurban Electric Trains は北側 3 本の構内線に定められ、Key System 及 Sacramento Northern Trains は他の 3 線に定められて居り、同様に Oakland 操車場では列車は仕分けされねばならない。各聯動装置挺子取扱者には、それ故に、列車が視野に達する以前に、その列車をどの線にやるのか報告しなければならず、之を爲すために、列車記述法が計画され、特にこの設備の操作條件に適するやうに発展された。各 Key System, Sacramento Northern Car は前面に A, B, C 等の大文字が識されてゐる。其れはこの列車を運転する Oakland 或は Berkeley の線路を示す。各 Interurban Electric Train は 1, 2, 3 等の数字が識されて居り、列車記述を受ける爲めの指示ランプ、聯合指示器、記述傳達のための壓ボタンが NX 聯動装置の照明板の表面に整備されて居る。

Oakland の挺子取扱者が列車 “A” を San Francisco へ將に送らうとする時には、制御板上の列車記述ボタン A を壓す。其の時ボタン中央後にあるランプは點燈される。ボタンを壓す列車記述の操作は進路、整備を完全にする爲めの出口ボタンと同様に作用する。列車が Oakland 聯動装置を出發すると “A” 記述が自動的に符號電氣衝擊に依つて 2 本の wire により San Francisco に傳達される。

それは Oakland 壓ボタンのランプを消ししめ、そして同時に San Francisco 側右第一列の列車記述燈を點燈する。

列車 A が San Francisco 聯動装置に近づいた時には、その到着は軌道燈上の接近軌道燈の點燈に依つて示され、列車が聯動装置に進入ると列車記述の A 燈は消える。列車記述設備は列車 10 本を示すに充分なだけ盛りを持つてゐる。此の装置に接近せる初めから 8 つの列車は全部文字及数字の表示燈第一組に依つて示される。その各組は総 2 列のランプから成立つて居り、其の第一列は文字、第二列は数字表示燈で、第四番目から第十番目迄の列車は明瞭な白色燈によつて示される。列車が到着するとその記述は消え、第二のランプセットに示された次の或は第二番目の列車の記述は自動的に第一セットに移動し、第三の列車の記述は第二へ移り、それから白色燈で示された第四番目列車は第三セットに移される。

橋梁及構造物

## (17) 劇期的な木製拱架

(H. Kaegi and A. J. Luchinger; "A Bold Arch Centre," E.N.R., July 20, 1939 p. 66~67.)  
廣田一郎 抄

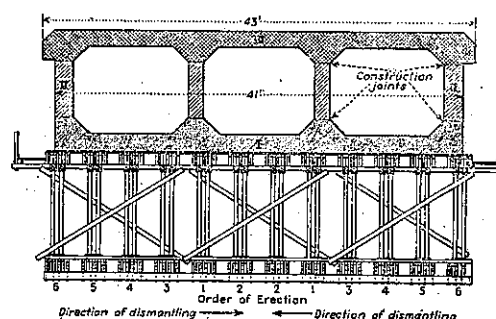
スイス國 Berne の新鐵道橋なる支間 460 ft のコンクリートアーチ用拱架として劇期的な木製構造物が必要であつた。即ち建設敷地の状況から足場を組む拱架を用ひる事が出来ず支柱なしの木製アーチが採用された。此の木製アーチは一方の岸にある重要な建物に頭空を與へると共に足場に對する洪水の危険を解消せしめた。計算上からも此のアーチは他の方法によるより遙かに經濟的なる事を示してゐる。

圖-66. スイス Berne 市に於けるコンクリート新鐵道橋用木製アーチ拱架



本橋は Aare 河を支間 460 ft 頂高 100 ft のコンクリートアーチで通過するもので、アーチの一側には 83 ft のガーダーが 2 連、他側には 4 連のガーダーがある。拱環は中空で上下の版と其れを連結する垂直の肋材よりなる断面は圖-67 に示せる通りである。

圖-67. 拱環と木製拱架断面図  
(拱架の架設及取りはずし順序を示す)



拱環の幅は 41 ft 起拱點に於ては厚さ 15 ft 頂點に於て 10 ft である。アーチより出て居る 4 本の構柱は拱肋より直接出て居る支柱と共に幅員 51 ft の路版を支持すべき 4 本の桁を載せて居る。此の路版は各桁の中央に夫々軌條を置くのである。拱環の計算重量は 1 ft 當り起拱線で 28 ton, 頂點で 18 ton である。断面を箱型とする目的の一つは此の荷重の下に拱架の作業を出来る丈容易にせんとするものであつた。即ち先づ拱環の下方版のコンクリート打をじ、之を完了する。次に肋柱のコンクリート打をなし最後に上部の版を完成するのである。斯かる建設順序により各完成された拱環の部分は連續的に死荷重の一部を負擔するのである。

例へば第一階梯に於て下方の版は其のハウジチと共にコンクリートを充填せられて完成する。實験に依れば木材とコンクリートとの附着抵抗は 9 磅/平方吋 であり、下方版と木製拱環とは一體のアーチとして働き拱肋及上部版の重量を負擔するものと考へらる。

木製セントリングは固定端アーチとして設計され其の上下兩弦は共に圧應力を受けるのであるから剛結せしむる爲に何等特別の設備を必要としなかつた。

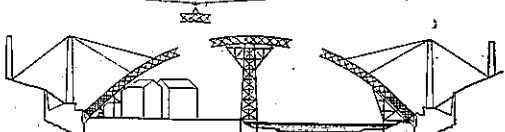
セントリングの全幅員は 43 ft であり全然同一設計の 12 箇のトラスとなる。各トラスの理論高さは 11 ft であり頂點に於ける トラスは收縮による短縮と荷重により挠度を考へて 4.5 吋高く設置された。

トラスの上下兩弦材は 6 本の木材より成り全幅員は 8 ft である。トラス用木材は原則として  $4 \times 12$  吋以下である。架設を容易ならしむる爲 44 ft 每に接目を設けた。此の接目は割目を有する環の合釘 (locher system) によつて連結されて居る。

請負人は 1938 年 8 月 26 日から下方版のコンクリート打を開始し全拱環は同年 10 月 1 日に完成した。全荷重の下に於ける挠度は  $3\frac{1}{4}$  吋であつた。

製作及架設 ブラスは請負人の大工組合工場で製作され、船で架設現場に積み出し其處で 2ton 21 ft 及 4ton 42 ft のトラスの形に再び組み立てる。3 ton の運搬能力ある 2 條の架空索道が各トラスを所定位置に運んだ。架設は索条碇着の助をかりて (図-68) 補助足場上の兩側橋臺に於て 2 つのトラス (図-67 の 1 番)

圖-68. 木製拱架の最初の 2 連拱トラス架設用足場



から始められた。支間中央下に木製の塔を作り其の上に 2 つのトラスの中央部分を構築し順次橋臺のトラスに向つて進んだ。此の 2 つのトラスは支間の 1/4 の點で極めて正確に連結せしめられた。之が完成してから 42 ft の木材を下弦に緊結せしめ他の 10 箇のトラスは此の下弦に吊つた足場の上で組立てられた。

最初の 2 つのトラスは 1938 年 3 月 5 日に竣工し最後のトラスは同年 4 月 22 日に出来上つた。此の架設には僅か 14 名のものが從事し而も内 6 名は現場工場内でトラスの組立に従つたのである。トラスが全般架設された後此の木製アーチは水壓ジャッキにより頂點で整正された。3400 ton 等布試験荷重による頂點の挠度は僅か  $2\frac{3}{4}$  吋で長大なる支間に比して著しく小さいものである。

#### (18) ドイツに於ける熔接鋼橋の事故に就て

Otto Kommerell; "Augenblicklicher Stand des Schweißens von Stahlbauwerken in Deutschland." Die Bautech., Heft 12 s. 161~163, Heft 15, s. 218~221. 1939.

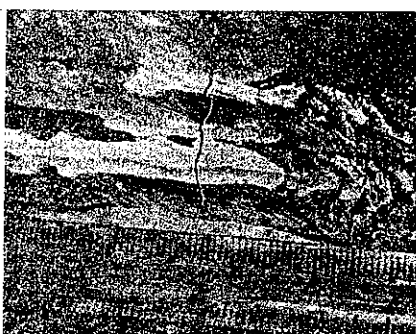
齊藤義治抄

ドイツ熔接界の現状は重量の節約、外觀の單純性及美しい點で極めて多方面に其の應用を見て居る。橋梁界に於ても St 37, St 52 に就て詳細に研究せる結果熔接示方書を作製し現在迄鐵道橋 150, 自動車専用道路橋 500 の多數の熔接橋を施工し別段異狀は無かつた。

所がベルリンの Zoo の熔接鐵道橋及 Rüderdorf の自動車専用道路橋に龜裂が入り事故が起つたのである。

(1) Zoo の鐵道橋に就て 龜裂は肉眼では殆んど發見出来ない。若し龜裂が熔接部分のみであるならば橋梁としては該部分を取除けば良いのであるが調査の結果龜裂は 25 mm 厚の腹板及厚 60 mm, 幅 500 mm の蓋板に迄及んで居た (圖-69, 70 參照)。

圖-69. 熔接部の龜裂



亀裂箇所は図-71に示す如く赤熱の状態から冷却する時に腹板及び蓋板にも及んで居る事が解る。此の爲に上部構造は鉢結に取換へた。

失敗の原因の一として考へられたのは厚き蓋板に對し降伏點が高すぎた。即ち  $44 \text{ kg/mm}^2$ , 伸びは 24% である。

図-70. 亀裂部の断面

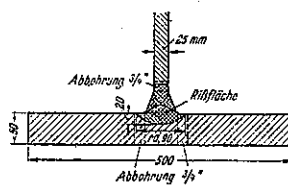
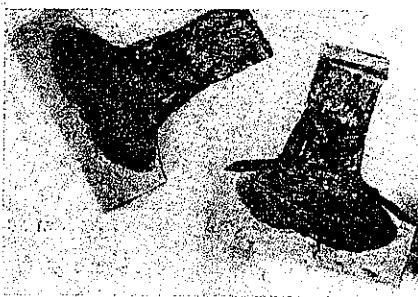


図-71.



#### 材料は分析の結果

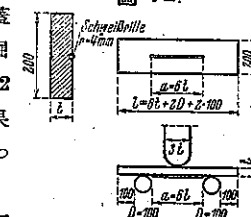
腹板(厚 30 mm)  $C=0.18\%$ ,  $Mn=1.22\%$ ,  $P=0.027\%$ ,  $S=\text{微量}$ ,  $Si=0.37\%$ ,  $Cr=0.1\%$ ,  $Mn<0.1\%$ ,  $Cn=0.4\%$ ,  $N=0.0067\%$   
蓋板(620×65 mm)  $C=0.25\%$ ,  $Mn=1.20\%$ ,  $P=0.029\%$ ,  $S=0.023\%$ ,  $Si=0.8\%$ ,  $Cr=0.02\%$ ,  $Mn=-$ ,  $Cn=0.5\%$ ,  $N=0.012\%$

材料の機械的性質は良好なものであつたが熔接に對しては缺點が有るのでは無いか、即ち冷却に對して硬化するのである。長 1.2 m, 厚 50 mm の St 52 の蓋板を赤熱し  $28^\circ\text{C}$  の水中に入れ硬化の程度を實験せし結果、 $60 \text{ kg/mm}^2$  の母材が  $120 \text{ kg/mm}^2$  になる事より急激なる冷却に因り非常に硬化する事が解る。

次に硬化と曲げの關係を調べる爲に厚 50 mm の蓋板に深 4 mm の縦溝を掘り、其の中を熔接して図-72 の如き曲げ試験をした結果は亀裂が入る迄に  $18^\circ$  曲つた。

即ち蓋板として材料は悪くは無いが熔接に因り均一體としての性質を失ふに至る。此の現象は現在迄知られ居なかつたものである。

図-72.



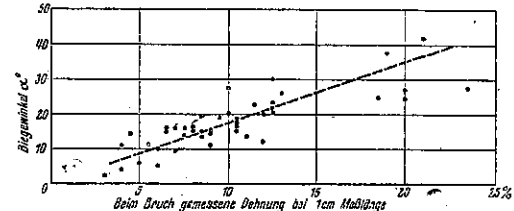
次に起る疑問は普通の判断では St 52 の降伏點は  $36 \text{ kg/mm}^2$  であるのに何故  $44 \text{ kg/mm}^2$  となるのであるか、此れは硬化の現はれである。化學成分的に研究せる結果 St 52 に對する結論は成分の最大限は次の如し  $C=0.2\%$ ,  $Si=0.5\%$ ,  $Mn=1.2\%$ ,  $Cn=0.55\%$ ,  $P=0.06\%$ ,  $S=0.06\%$ ,  $P+S=0.1\%$  と推定され、更に  $Mn=0.3\%$  又は  $Cr=0.4\%$ ,  $Mn=0.2\%$  は加へても可と思はれる。最小降伏點は厚 30~50 mm では  $34 \text{ kg/mm}^2$  と決められた。

曲り角(Biegewinkel)の問題：曲り角を  $\alpha$  とする  $\alpha = \frac{24l}{t}$  となる。(若し長 100 mm, 歪 10% とする時) 即ち  $t$  が大となると  $\alpha$  は小となり、 $4l$  が大となると  $\alpha$  は大となる。 $t=50 \text{ mm}$  とすると  $\alpha=23^\circ$  となる。 $\alpha$  の試験の結果は

- a)  $C=0.2\%$ ,  $Cr=0.38\%$ ,  $Mn=1.04\%$ ,  $Cn=0.41\%$ ,  $Si=0.38\%$  の材料で最小  $\alpha=2^\circ$ , 伸びは 3% であつた。
- b) 最大  $\alpha$  は  $40^\circ$ , 伸びは 20% ( $C=0.16\%$ ,  $Si=0.58\%$ ,  $Mn=0.94\%$ ,  $Cn=0.21\%$ )。

伸びと  $\alpha$  の關係は図-73 の如し。

図-73.



我々の橋梁に使用する材料としては出来る丈  $\alpha$  の大なるもの、少くとも  $\alpha>20^\circ$  なる事が必要である。

實験の結果腹板(腹板)を前以て熱して置いて熔接すると極めて良好なる結果を得  $\alpha$  も大となつた。

Zoo 橋の失敗より得たる結論は次の如くである。

- (1) 鋼の化學的成分は  $\alpha$  に對して十分で無い。成分の一寸した加減で  $\alpha$  を  $30^\circ$  にも出来る。
- (2) 絶對的硬度は決定的なものでは無い。前以て  $300^\circ\text{C}$  に加熱されて熔接した St 52 の板は、 $20^\circ\text{C}$  で熔接した St 37 の板より硬度は大であるが、性質は St 37, 厚 45 mm の板は硬度は  $60 \text{ kg/mm}^2$  で亀裂が入つたが、St 52 の厚 20 mm の板は亀裂が入らず硬度は  $160 \text{ kg/mm}^2$  であった。
- (3) レントゲン試験の結果解る如く熔接箇所附近は收縮の爲に非常な引張力を受けて居る。又縱及横方向の歪は同様である。

(4) 鋼を前以て  $200^{\circ}\sim300^{\circ}\text{C}$  に加熱する事は極めて良好な結果を來す。曲げ試験の結果も龜裂が入らず、特に厚き鋼の熔接には前以て  $200^{\circ}\sim300^{\circ}$  に加熱する事が必要である。

(5) St 52 でも ( $850^{\circ}\text{C}$  に加熱し除々に冷却せるもの) 縦方向に熔接したものは曲げ試験に對し約  $30^{\circ}$  の  $\alpha$  を示し且つ龜裂も入らなかつた。

(6) 圧縮側の熔接接目は相當大きな  $\alpha$  を示し殆ど龜裂は現はれぬ。

(2) Rüderdorf の橋梁の失敗に就て Zoo の失敗に鑑み本橋の上部構造の衝合熔接、隅肉熔接は特別の注意を拂ひ施工し、疑問の箇所はレントゲン試験を行ひ豫期通りの構造物が出來たと思はれて居た。

構造—— 総延長  $700\text{ m}$ , St 52 の熔接連續鋼桁橋、振子支承は高  $1.4\text{ m}$  である。断面は蓋鋼の厚  $39\text{ mm}$ 、幅  $660\text{ mm}$ 、床鋼は厚  $40\text{ cm}$  の鋼筋コンクリート床鋼、 $20\text{ m}$  間隔に伸縮目地を置いてある (図-74, 75 参照)

図-74

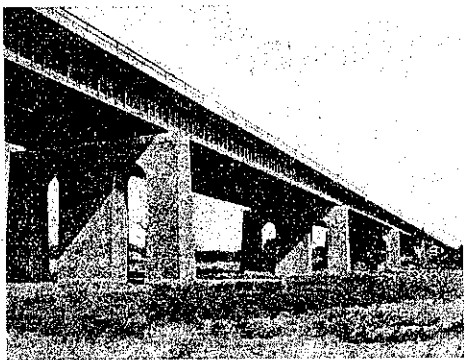
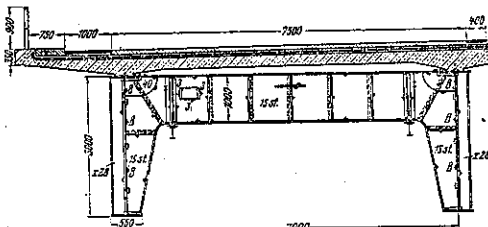


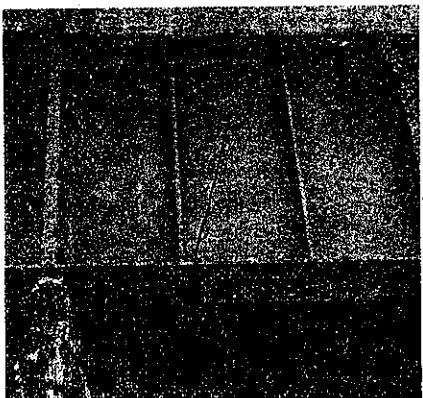
図-75. 断面



1938年1月2,3日の夜半突然一大音響と共に下突縁に龜裂が入つた (図-76 参照)。

其の後龜裂は腹鋼に及び遂に上突縁に達した。位置は殆ど曲げモーメント零の隅肉熔接の箇所である。腹鋼の斜熔接線は龜裂の箇所より  $2\text{ m}$  離れた所に在つたが別段異状は無かつた。2時間後に他の主桁に同様な

図-76. 下突縁の龜裂

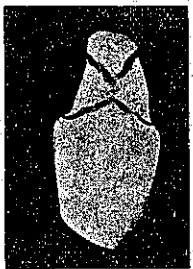


状態で龜裂が入つた。此の失敗に因り St 52 の熔接は根本的説明が出来る迄は一時中止した。

原因の探求： 龜裂の入つた腹鋼を切斷し各種の試験をした。龜裂箇所を磨いたのは

図-77.

圖-77 で其處に豌豆大的熔接の缺點が見出される。此れが龜裂の原因となつたのである。鋼材の分析の結果  $C=0.2\text{ (%)}$ ,  $S_t=0.59$ ,  $M=1.0$ ,  $P=0.06$ ,  $S=0.02$ ,  $Cr=0.03$ ,  $H_1=0.03$ ,  $C_n=0.34$  で決して悪いものでは無い。



蓋鋼の引張強さ  $58\text{ kg/mm}^2$ 、比例限度  $35\sim39\text{ kg/mm}^2$ 、伸びは  $24\sim30\%$  である。硬化の程度は引張強さ約  $80\text{ kg/mm}^2$  であった。

熔接の變形強さを試験する爲に熔接と直角に切斷して幅  $25\text{ mm}$ 、厚  $30\text{ mm}$  での結果曲り角 ( $\alpha$ ) は  $55^{\circ}$  であつた (図-78)。

此の  $\alpha$  の大なる事に依り現在迄の考へ方を訂正せねばならぬ即ち、熔接は相當大なる硬化 ( $80\text{ kg/mm}^2$ ) に

図-78.



も拘らず變形に對しても極めて良く  $\alpha=55^{\circ}$  である。

(a) 原因の一つとして數へられた事は夜間の溫度降

下はコンクリートより約10°C下つた。此の爲の桁の引張應力は $300 \text{ kg/cm}^2$ で全體として高さ $1600 \text{ kg/cm}^2$ であるので直接原因とは考へられぬ。

(b) 腹板の挫屈を防ぐ爲に配置する補剛材の熔接を1.本除却して見ると図-79の如く突線は1.5 mm捻んだ。此れは図-80のBの熔接に原因するものである。

図-79.

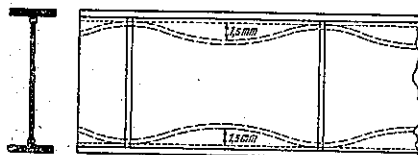
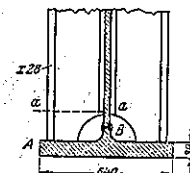


Abb. 15.

図-80.

Verschweißen der Gurtung



其の値を図-81の如くしてPの値を計算すると $f=0.15 \text{ cm}$ として

$$f = \frac{Pl^2}{3EI} = 0.15, \quad \sigma = \frac{M}{W}, \quad M = Pl, \quad W = \frac{2J}{3.9}$$

とすると $\sigma = 1800 \text{ kg/cm}^2$ となる。

Siebel 及 Maier 氏の説に依ると一軸方向引張の時St 37に對し93%の變形のものは2軸方向引張となると12~15%となる。此の材料では一軸方向で約16%である故、二軸方向となると2~4%となる。勿論 Siebel 及 Maier 氏の説は直ちに適用は出來ないかも知れぬが補剛材の應力に因る腹板及蓋板に2軸方向應力狀態として作用した事は考へられる。

結局 Rüderdorf橋の亀裂の原因は不明で終つた。然し亀裂防止として現在認められて居る対策は

- (1) 出来る丈變形量の大きい材料を使用する事。
- (2) 構造の點を吟味する事。
- (3) 施工技術の優秀なる事。

次に熔接構造物に對する結論を述べる。

(1) 材料は出来る限り熔接熱に對し抵抗力大なるものたる事。曲げ試験は $200 \times 50$ とし、 $\alpha > 20^\circ$ たる事。熔接材としては Siemens-Martin の St 37 が一番良い。特に蓋板に對して良成績である。

- (2) 熔接々目に於ける熔け込の下部には硫黃の含有

の多い層が出來る故注意を要す。

(3) 蓋板の厚は $50 \text{ mm}$ 以上としてはならぬ。其れ以上となると連續隅肉熔接で腹板に熔接しても無理である。

(4)  $30 \text{ mm}$ 以上の板は熔接には使用せぬ事。補剛材は蓋板に近づけ補剛材に熔接せる別な板で突線と密着せしめる。

(5) 熔接に當り隙間風、冷却に對し保護すべし、斷面が $30 \text{ mm}$ 以上の部分は板を前以て $200\sim300^\circ\text{C}$ に熱する事が良い。

(6) 熔接々目の熔接がすむと直ちに冷却せぬ中に次の熔接に入る事が大切である。

(7) 過度の熔接により母材缺點を補ふ事は絶対に不可である。何となれば母材の硬化する故である。

(8) 板厚 $30 \text{ mm}$ 以上の熔接構造物には必ず試験荷重を積載すべきである。

## 道 路

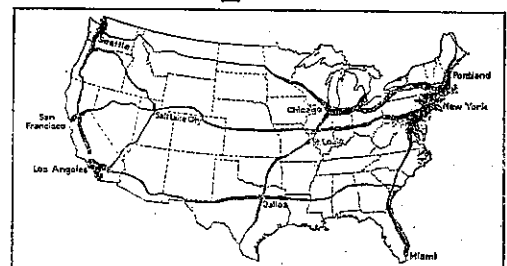
### (19) 米國に於ける有料制高速度道路

(“Toll Superhighway System Rejected.”)  
E. N. R., May 11, 1939 p. 63~66.  
倉田宗章抄

米國道路局は其の報告に於て大陸横断道路の料金制の不利なる事を主張して道路改良の地方共同制、近代的共同維持道路、立體交叉地方支線道路の改良に就き議會の考慮を勧告してゐる。

試みに推定交通量を基礎として路線を規定すると図-82の如くである。

図-82.



(I) 建設費及收入 此の報告に依ると6本の高速道路の建設は技術的には全く可能である。全長は約14336哩、又建設費は約2899,000,000弗即ち哩當り平均202,270弗である。平均經費は哩當り最大1158,400弗より最少63,450弗の範圍であり之等2區間の經營、維持の豫算は哩當り66,560弗乃至5,700弗である全道路

網について平均額は年哩當り 12,840 弗、年總額 184,054,000 弗である。之等の數字は理論的壽命、良好な維持、經營費（年收の 2.6% 僕地に於ては 2.24%）を基礎としてゐる。高速道路の使用は大きく見積つて全體で 1945 ～1960 年間に毎年料金支拂交通が 4,544,000,000 車哩であり、其の中 3,635,000,000 車哩は乗用車、909,000,000 車哩はトラックとバスによる交通である。

1 日當りでは全體で 12,450,000 車哩、その中 2,490,000 車哩はトラックとバスである。依つて全道路網に就き平均すると哩當り 1 日旅客車 699 輛、重量車 175 輌である。

Jersey City、より New Haven 間では 1 日當り乗用車 5,998 台、トラック 1,500 台、Spokane, Wash. より Fargo, N. Dak. 間では乗用車 96 台、トラック、バス併せて 24 台である。1 車哩當り通行料金はトラック及バスに對して平均 3.5c 乗用車に對しては 1c で計算される。重量車の乗用車に對する臺數の比は平均して 1:4 であるから兩車輛に對して平均すると 1 車哩當り 1.5c となる之は適當な値を考慮して定められたものであつて高率に過ぎるも低率に過ぎるも共に收入を減ぜしむるものである。

之の假定料金を基礎として、6 本の高速度道路に就き理論的に見積られた最大交通量に對する全收は 1960 年度には 84,037,000 弗になる。1945 年より 1960 年の 16 箇年間の年平均 72,140,000 弗である。

之の報告から見て之等 6 本の高速度道路よりの收入制度は全般的に道路の各種の施設の経費を扭出する方法としては不可能である事が結論される。

そこで之の報告書に於ては道路網を區間に分けて各區間に別箇に考慮してゐる。即 Philadelphia, Pa. より New Haven, Conn. 間 172 哩では 1960 年度の豫想收入は其の年の推定經費の 109%～104% である。又 California 州中の 91 哩の區間、Washington, Baltimore 間 39 哩、Boston, Portland 間 134 哩、Miami, Jacksonville 間 326 哩、Baltimore, Philadelphia 間 76 哩の 5 區間に於ては 1960 年度豫想收入は推定經費の 91.8%～83.2% である。他の 19 の區間では 50.5%～76.1% である。他の主要區間全部に就ては經費對收入の比率は 50% 以下である。

(2) 路線設定及交通能力 法規の範圍内に於て路線の設定は次の事項に基いて爲された（圖-82 参照）。

(1) 地形及人口密度、(2) 最も用ひられてゐる路線に沿ふ事、(3) 重要な終端地點を結び、且つ合理的な直通

路なる事、(4) 通行料金の徵收に便なる事である。

地形的に不可能な合計 94.2 哩の 2 區間を除いて道路の詳細な設定は現在道路より全然離れた新しい路線である。

之等の路線は出来る丈交通を吸收する様都市に接近して通過する。尙細部に就ては次の事が考慮されてある。(1) 車輛の出入口は、可能な限り制限容易である事。(2) 都市の外方への發展の障害及高速道路を横断する交通に依る混雜は出来る丈避けられる。(3) 立體交叉構造物の費用は出来る丈減ぜられる。(4) 安い地價の所を擇んで出来る丈利益を得る事。圖-82 に依るとアプローチの制限されてゐる典型的高速度道路の交通の 1/3 以上が、之の道路を有料施設とした時通行しなくなるものと認められる。之の改變に依る交通量の變化係数として實際に用ひられた値は諸區間に就て 0.164～0.4 の範囲である。1937 年度以降の有料交通量の推定增加率は 1960 年度には 2.5 又 1944～1960 年代には 34.2 である。茲に 1944 年の 1 月 1 日までに全系統の半分は完成し使用され、全線は 1946 年迄に完成されるものと假定した。

道路の幅員に就ては道路局の最近の高速道路輸送能力の研究に依り、大體往復交通を平均して 1 時間 400 台が常に不便無く 2 車線の道路を安全に通過せしめる最大量と假定出来る様である。記録に依ると之の時間的最大数は 1 日平均 1,500 台の車輛に相應する、之の道路系統の各區間に於て 1 日の通行量は 1960 年には 1,500 車を超過するとの豫想される故に 2 車線以上の幅員とする様計畫される。幅員を擴張する場合は最少 4 車線とし 3 車線とする事は避けられる 4 車線に對しては常に不都合を感じる事なく運行する爲には往環共で日に平均 7,500 台が餘裕ある臺數と考へられる。

(3) 高速度道路計畫案 之れに就き報告書は、之の有料制高速度道路網の經費を回収し得る收入の可能性はないが、現在施設改善を必要とせぬ程交通量が少いと云ふ譯ではないと述べてゐる。

依つて以下その高速度道路改善のマスタープランを概説すると (1) 特別に決定した(試索的に)道路の構築、之等の道路は重要地點をすべて連絡してゐる(圖-83 参照)。(2) 現在の聯邦共同經營組織の改善。(3) 鐵道との立體交叉。(4) 土地利用計畫と提携した地方支線道路の改良、等である。之の計畫の全く新しい點は各州に跨がる道路組織なる事である。之の計畫は最近の交通速度と交通量の増加の爲在來道路が非常な改善を必要と

圖-83.



するに至つた爲生じたのである。

勿論其の改良計畫とは在來の急曲線の減少、急勾配の緩和、視透距離の増大、舗装の擴張、增設路線の築造、一方通行制、又出來れば急坂に於ける緩速車用の通路、多數の立體交叉相互の防護設備、危険な路側状態の改善、長距離交通に於ける主要地點間の路線位置の本質的改善等である。

國道計畫の測量報告に依り 圖-83 の如き長距離道路網を撰定する事が出来る。之の路線撰定に依ると總延長は約 26 700 哩である。之の道路の設定、設計、築造等は前記有料制道路の標準に準據する、そして設定の困難及経費に鑑み多少變更される。尙顯著な問題として報告には次の 3 項に就き注意を喚起してゐる。即ち

(イ) 各都市連絡——多くの交通圖より次の事が歸結される即ち都市の入口に於ける公道交通量の相當部分は地方交通であるが、残の大部分は其の都市着の、或は都市發の交通なる事で、此の交通は直通路に依つて他へ回避せしめることの出來ない性質のものである。説明のため Washington-Baltimore 間の路線に就いて見るに直通路に依り他へ回避せしめ得る交通量の最大は Washington に於て市内へ入つて来る車 20 500 台中 2 269 台である Baltimore に於ては 18 900 台中 2 670 台である。残りの台数は市街の中へ入るものであつて街の中心へ行く車であるか或は市の中心より出た車である。かゝる状況の下で唯一の解決策は、市内進入の交通を適當な施設に依り整理する事及出入口の調整であつて、小は在來道路の擴張より大は (St. Louis の地下道及 New York の West Side Highway の様な) 地下道乃至高架道の如き 都市連絡高速道路の建設の如き大施設である。

報告書は計畫に關係してくる重要な通行権問題を指摘して、主要地方道に依る都市連絡及都心に入る新高速道路の建設は議會に於て 道路計畫案中第一に付議さる可しと述べてゐる。

(ロ) 環状道路——報告書に依ると都市連絡に次いで大都市を取巻き小都市の附近を通過する環状道路を緊急に必要なるものとして強調してゐる。之の主なる機能は都市の周囲に環状交通を通す事ではなく任意の道路に依りやつて來た交通を之の環状道路に依り市内目的地行の道路に連絡する事及通過交通を之れに依り互に振分け合ふ事である。

尙環状道路は都市連絡の主要道路との交叉點にのみ出入を許し中間に於ける出入は非常に制限される。

任意の箇所から出入出来る所謂通過道路 或は 環状道路は間もなく混雜した街路と化するものである。

(ハ) 通行権問題——報告書に於ては現在及既往の種々なる通行権の障害を引用して何等かの中央聯邦機關が設置されて新設道路或は道路擴張の爲に所要の土地を得る事が出來れば問題は簡単になると述べてゐる。

#### (20) 道路工事用機械に於ける革新

(Fr. Riedig; "Neuerungen an Straßenbaumaschinen." Die Bautechnik, Heft 19, 1939, s. 266~270.)  
高橋脩一抄

・道路工事用機械の中で改造された掘整機の發達は既に完成の狀態に達し、其の爲今日では 11 種類もの異つた型式が採用出来るし又廻轉起重機や車に載せられた廻轉起重機等もそれが最もよい裝置である爲の獨創的な計畫をする必要もなくなつた。

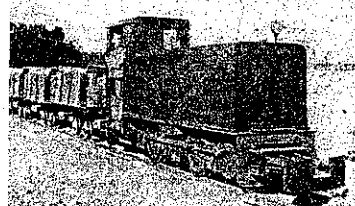
道路工事現場で一番普及されて居る機關車の設計では牽引能力と云ふ點で困難な問題がある。大形モーター機關車では、モーターエネルギーの利用と牽引能力の變化に對する適應の目的で Flüssigkeitgetrieb が採用された。又小形モーター機關車では單純なる様式と輕い自重と云ふ事を條件として完全なる價値を有する機械を創り出す様に試みられた。モーター機關車では當分の間は 100 馬力の能力も疑はしいが、しかし速度の點では出来る限りの異つた種類の速度が出せる様になつて居る。例へば Orenstein & Koppel 製の軌間 600 mm, 作用重量 12t の 70/75 馬力モーター機關車は毎時 2.5 輪から 21.5 輪の速度で走る

事が出来る

(圖-84)。

蒸氣機關車に就ては現今の大抵の鋼製の火室は銅に比して些

600 軸軌間, 70/75 馬力モーター機關車



も遜色のない Krupp<sup>社</sup>の Izett 鋼で作られて居る。此の Izett 鋼の主なる特質は長年使用しても變化しない事と、腐蝕を受けぬ事である。

新しいバケットコンベヤーの一例として 30 から 50 m<sup>3</sup>/h の能力を有し、0.02~0.16 m/sec の 2 種の速度で行動出来るものが實現した(圖-85)。バケットの鎖の回転速度は毎秒 0.55 m, 推進の爲には 6 馬力のディーゼルモーターが動く。

一般にローラーは大別して 2 種に分けられる。即ち主壓が只一つのローラーを通じて作用する單軸ローラーと、壓力が兩方の軸に分けら

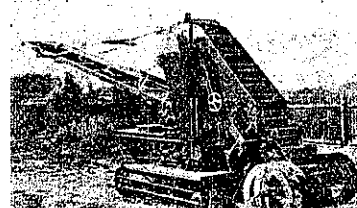


圖-85.  
能力 30~50 m<sup>3</sup>/h のバケットコンベヤー

れる双軸ローラーとある。然し單軸ローラーとは云ふものの之を理窟の上からだけで、實際は 2 つの車軸を持つて居る。然し前輪の行ふ搾固作用は云ふに足らぬものであつて、寧ろ之は操縦用のものである。本當の單軸ローラー、即ちタンデムローラーの使用は一般に沥青材料の搾固だけに制限される。大抵のローラーは辯や立木の傍をすれすれに進む事が出来る。例へば 3.5 t タンデムローラーは横に飛出して居る部分が 30 cm しかない。少し許りの移動なら、ゴムを被せた車輪をくつつける事が出来る。

ローラーの運動動力としてはディーゼルモーターが使はれて居るが、一方木ガス或は木炭ガスに依る動力装置が試みられて居る。ローラーはもともと重いものなのだから、機關車や自動車に於けるよりもガス發生機やガス淨化装置の様な附加的重量に對して有利な立場にある。Henschel & Sohn 製のローラーでは容量 400 立の木ガス發生装置が兩方の後輪間のラーメンの上に取付けられて居る。ガス發生機の始動は電動式通風機で行はれる。

圖-86 に示したローラーのガス發生機は木炭或は泥炭を燃料とする。又切換る事に依つてガソリンを使ふ事も出来る様になつて居る。燃料の消費量は木炭、泥炭共に 0.4 kg/HP/h, それで木炭なら原價 3.2 RPf/HP/h のものから 8 RM/100 kg, 泥炭なら 3.8 RPf/HP/h のものから 7 RM/100 kg の利益を得る。

ローラーは弛い地盤には屢々 車輪が深くもぐつて使

用し兼ねる爲、他の装置が現はれた(圖-87)。即ちローラーに搾固装置を備へて、之が搾固を受持つのである。此の迴轉起重機、ウインチ、錘及それを任意の高さから落下させる装置とから成る搾固装置はローラーの前後左右に向ける事が出来る。

弛い砂利に對するバイブレーターとしては Riemenscheibe の様なものが現はれた(圖-88)。

コンクリート用のバイブルーターは電氣モーターを内部に入れてある。其の爲に電流の自由にならぬ現場では別にガソリン發電機或はディーゼル發電機が必要となる。此のバイブルーターは小さなガソリンモーターと可搬性の軸とに依つて調整する。

コンクリートミキサーに對しても種々の改造が行はれた。今迄自動車で引つぱられる關係上、輕快でなければならぬと云ふ事が小さなミキサーの出現に依つて解決された。此のミキサーはドラムの容量 150 立で、車臺の下にゴムの車輪装置と始動ブレーキとを有する。此の機械は上手に作られて居るので、高速度で行動する事が出来る。コンクリート混合用水はポンプでタンクに汲み込まれ又此のポンプは練立ドラムを迴轉する爲に用ひるディーゼルモーターで運轉される。又コンクリート道路建設用の爲に 750 立のミキサーが作られた。此のミキサーは無限軌道がついて居て、用意なれる施工基面の上を進む事が出来る(圖-89)。コンクリートの分配は長さ 5 m のベルトコンベヤーで行はれる。此の機

圖-86. 木炭と泥炭のガス發生機を有するマカダムローラー

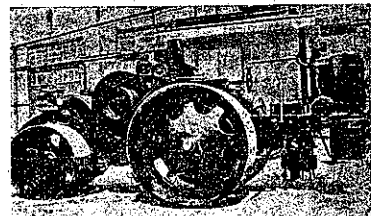


圖-87.

搾固装置を有するマカダムローラー

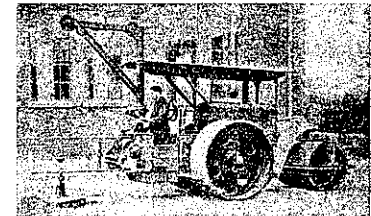
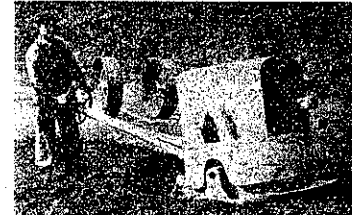


圖-88.

弛い砂利に對するバイブルーター



械は低く、作られて居るので、橋梁等の下を通過する場合でも一部分取外しと云ふ様な事をしないでよい。

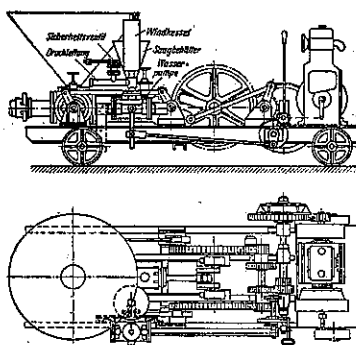
連續ミキサーではセメント運搬機がセメントを運び込む間に他の運搬機が砂利や砂を取込む。此のミキサーの練立能力は

1時間 3 立方米(圖-90)である。

コンクリートをポンプで受臺へ送るに當つて、シートを時々掃除しなければならない。此の爲にコンクリートのポンプに水のポンプが装置してあるものが出来て居り(圖-91), 之に依つて清掃水がシートの中を壓送されて掃除する。

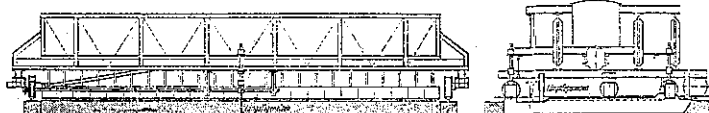
圖-91.

シート清掃用の水ポンプを有するコンクリートポンプ



コンクリート道路の表面仕上機も改良されたので、1つのもので澤山の事が出来る様になつた。例へば Baumaschinen Gesellschaft 製の表面仕上機はほんの僅かなハンドルで、下層コンクリートの搾固から上層コンクリートの搾固まで出来る。Joseph Vögel 製の幅

圖-92. コンクリート舗装の表面仕上機に取付けられた目地切り機



の廣い表面仕上機は中間の振動数(振動数毎分 150~250 回)から高度の振動数(振動数毎分 3 000~4 000 回)まで變へられる。表面仕上機は幅が廣いので搾固用角材(Schwingschleifbalken)を有するばかりでなく目地切り機も備へつけて居て、之で搾固を行ふと共に目地を切つて行くのである(圖-92)。コンクリート舗装に用ひる表面仕上機は大抵澤青質材料の舗装の場合にも用ひられるので、其の爲に澤山の水の霧吹装置を備へて居る。

タール或はアスファルト加熱機に屬する混合機も亦發達した。例へば圖-93 の實容量 3.5t のモーター加熱機は高速で移動出来る様になつて居るが、之等も在來の 4.5t 加熱機から發達したものである。材料を溝載して道路上を毎時 25 尺の速度で進める。Alfelder Eisenwerk Otto Wasselmann 會社製の容量 2.5 立方米から 3 立方米のものはディーゼルモーターで機械的に材料を攪拌して焦げるのを防ぐ様になつて居る。

澤青質の混合物の撒布機に就ては、懸賞募集のお陰で澤山の改善が行はれた。牽引式撒布機に例を取れば、之は操作し易い様な獨創的な型式を持ち、ゴムを被せた車輪を持つて居る(圖-94)。搔均し機も同様に改善されて居て、之では搔均し用として引出し得る腕木が或る角度をなして開く様になつて居て、其の爲 2.5 ~ 3.75 米の幅まで作業出来る、機械の方向は操縦桿で運転者の思ひの儘に向ける事が出来る。

此の他に工事用機械として空氣壓搾機があるが、之は Flottman A. G. 或は Irmer & Elze 製のもの等を例にとつても、活潑な發展をして居る。

圖-93. 容量 3.5t の高速で運動出来るアスファルト加熱機

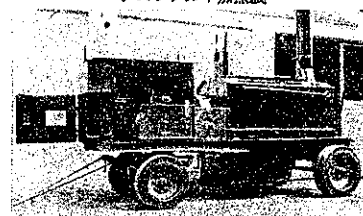


圖-94. 引出し得る搔均し腕木を有する澤青質混合物の牽引式搔均し機

